

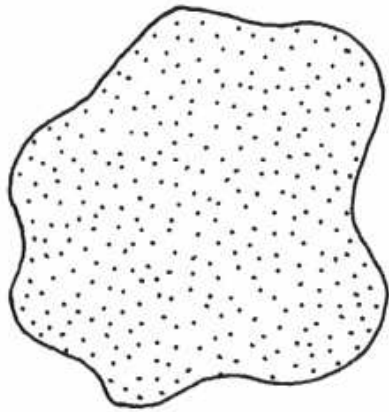
Magmatické systémy

Na rozdíl od povrchových procesů a vzniku sedimentárních hornin nemůžeme většinou magmatické procesy pozorovat přímo. Pouze ve výjimečných případech extrudujících nexplozivních procesů se na vznik magmatických hornin můžeme podívat blíže.

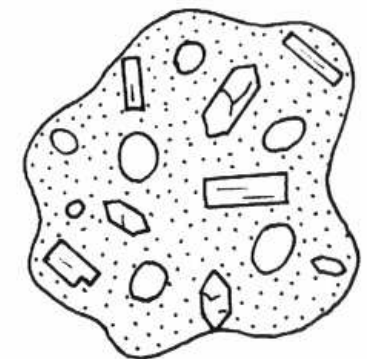
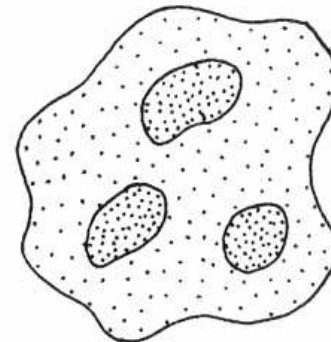
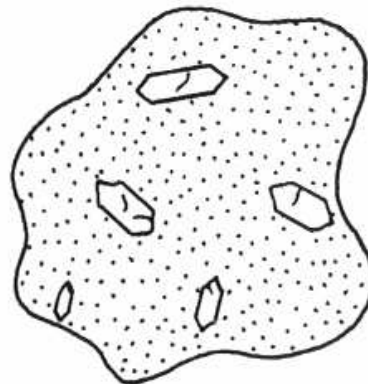
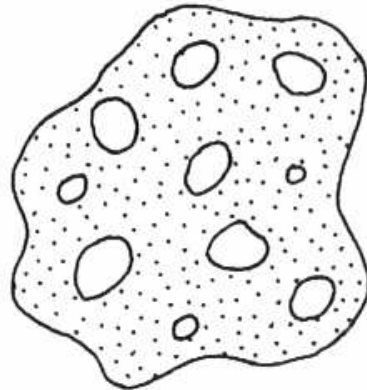
Magma

- Termín zavedl 1825 Scope: „... složená kapalina skládající se z pevných částic suspendovaných v kapalině jako je bahno ...“
- Teploty: při povrchu 1 200 až 700 °C (vysoké hodnoty pro mafická magmata s nízkým obsahem SiO₂; karbonatické lávy až 600 °C).
- Hustota: kolísá mezi 2,2 až 3,0 g/cm³ a jsou obecně o něco nižší než pro pevné horniny stejného složení

Magma se obvykle skládá z mobilní směsi suspendovaných pevných částic, taveniny a plynné fáze.



- Počet fází závisí na třech intenzivních proměnných – P, T a X.
- Dostatečně vysoká T – homogenní tavenina.
- Obvykle převaha Si a O.
- Výjimečně dvě taveniny: karbonátová a silikátová (nemísitelné).

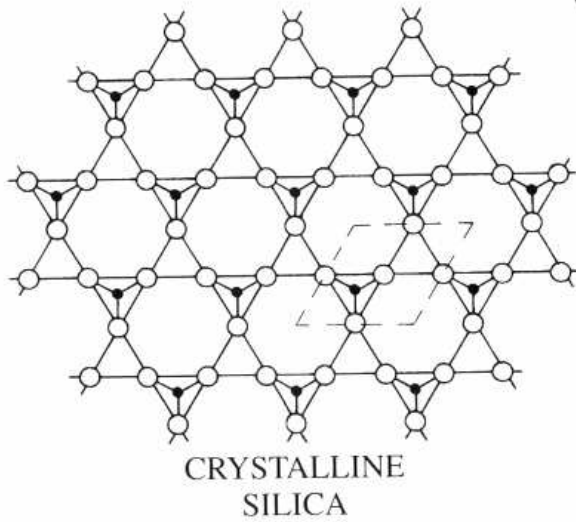


Atomová struktura

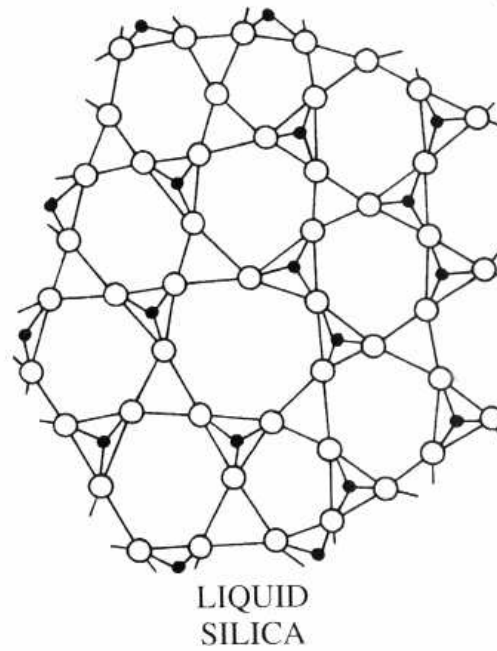
- určuje vlastnosti
- tavenina zachovává uspořádání částic v rozsahu několika molekulových jednotek, zůstává koordinace kationů
- malá změna entropie $\text{SiO}_2(\text{s}) - \text{SiO}_2(\text{l})$: trojrozměrný polymer Si–O
- 4 typy ionů: (1) síť vytvářejících – Si^{4+} , (2) můstkové kyslíky, (3) síť modifikujících (Ca, Mg...) (4) nemůstkové kyslíky
- poměr nemůstkové kyslíky:síťové kationy = stupeň polymerizace
- viskozita (stupeň polymerizace; Fe^{2+} - modifikující, Fe^{3+} - síťový)
- stoupající tlak – nižší stupeň polymerizace

Atomová struktura

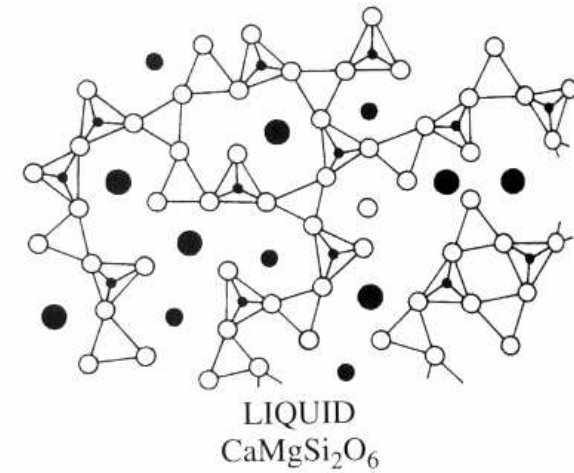
(a)



(b)



(c)

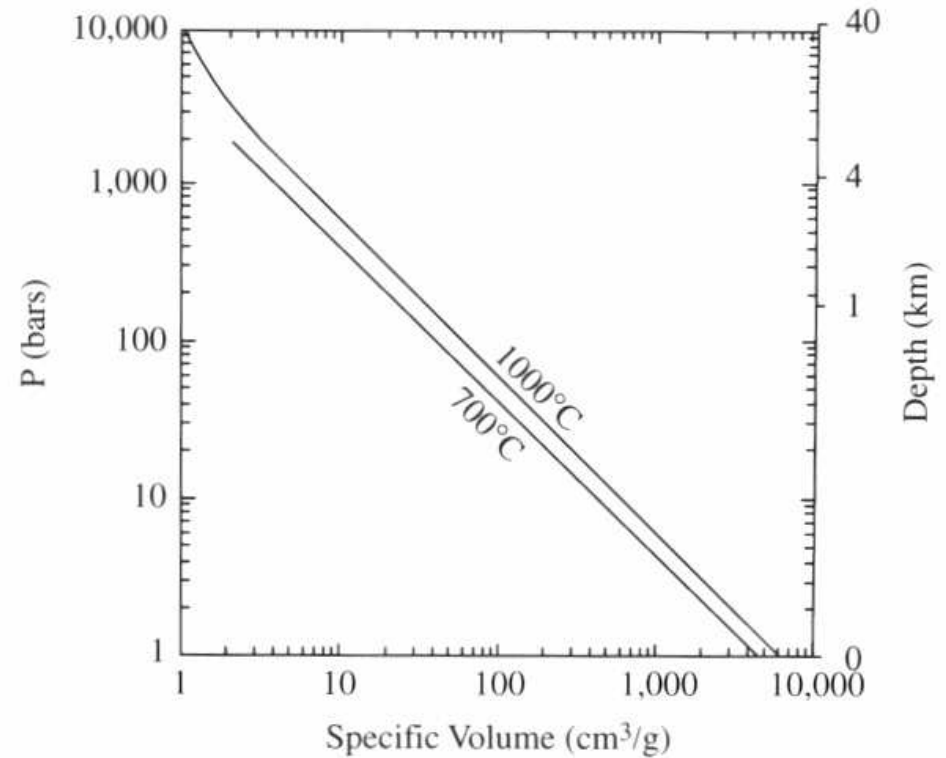
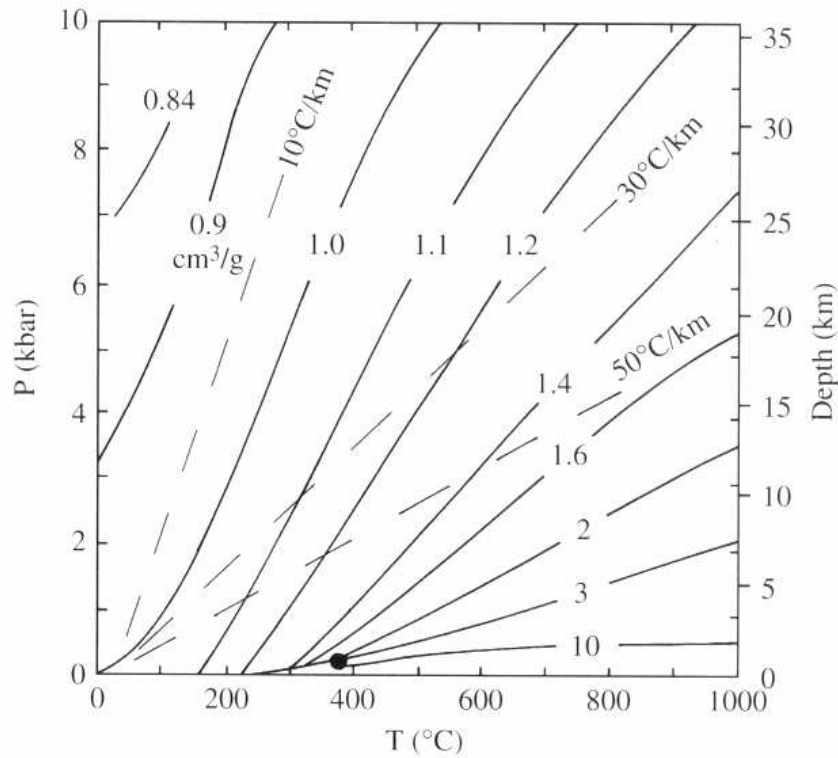


Role těkavých složek

- H_2O , CO_2 , H_2 , HCl , N_2 , HF , F_2 , Cl_2 , SO_2 , H_2S , CO , O_2 , NH_3 , S_2 , He , Ar
- Kritický bod (voda: 21,8 MPa, 371 °C; CO_2 : 7,3 MPa, 31 °C) – fluidní stav
- Těkavá fluida (v hloubkách pod 1 km mizí rozdíl mezi kapalným a plynným stavem): hustota $< 2 \text{ g/cm}^3$, specifický objem $> 0,5 \text{ cm}^3/\text{g}$
- Tlak fluid

Role těkavých složek

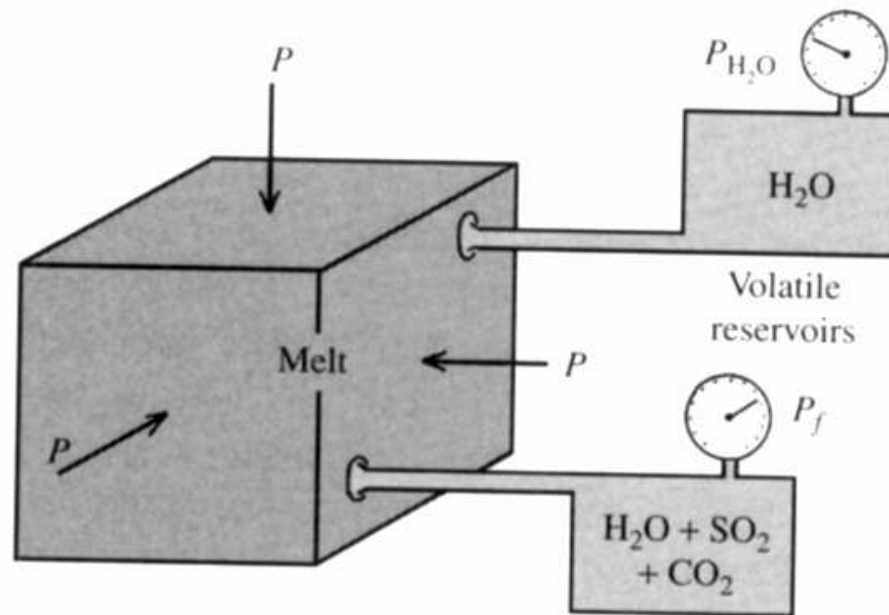
Specifický objem vody



Rozpustnost těkavých složek v silikátových taveninách

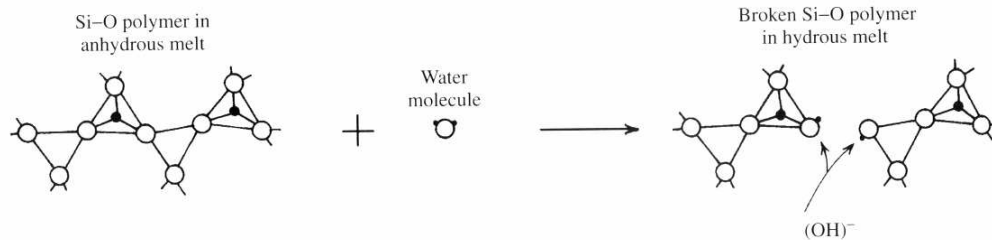
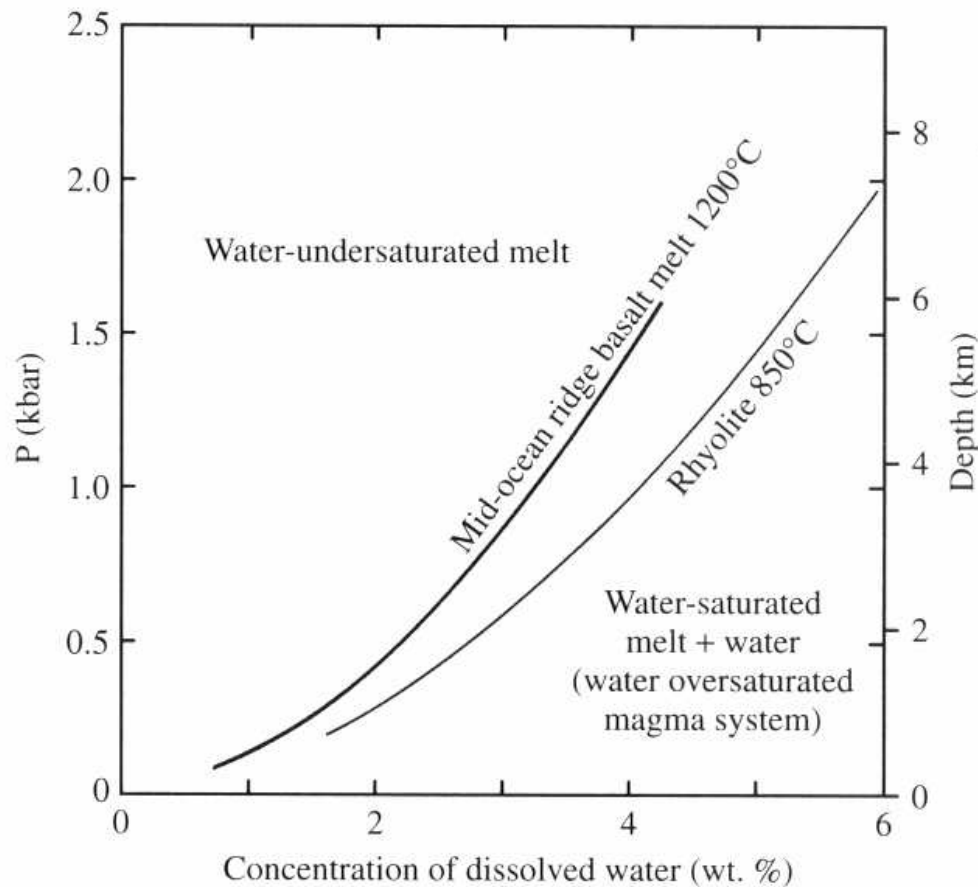
Tavenina s rozpuštěnými těkavými složkami =
= tavenina + těkavé složky

$$V_{t+f} < V_t + V_f$$

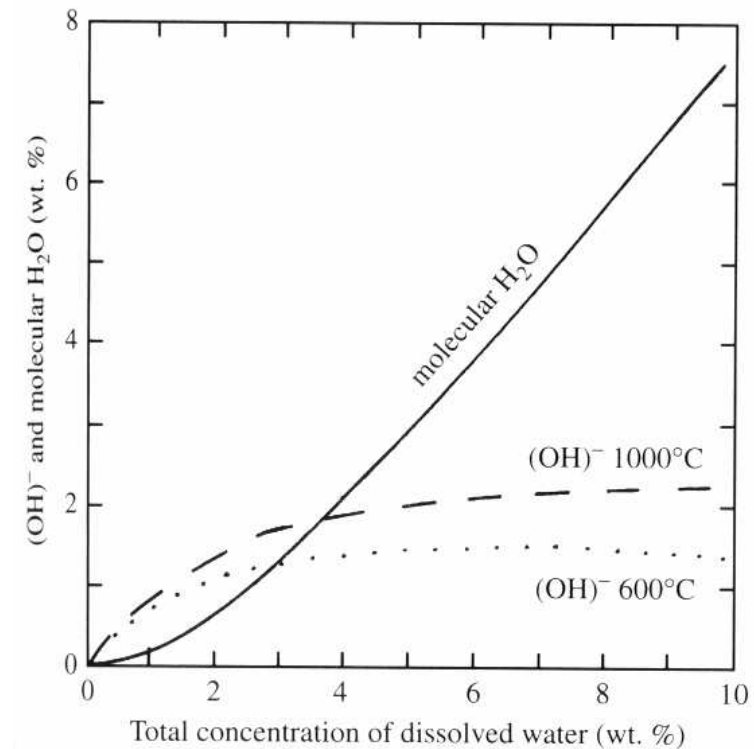


H₂O

- Rozpustnost přibližně úměrná $P_{H_2O}^{0,5}$ -> mechanismus
- $H_2O + O_2^- = 2 OH^-$
- Drasticky snižuje viskozitu



JUSCI ZUMMII



CO₂

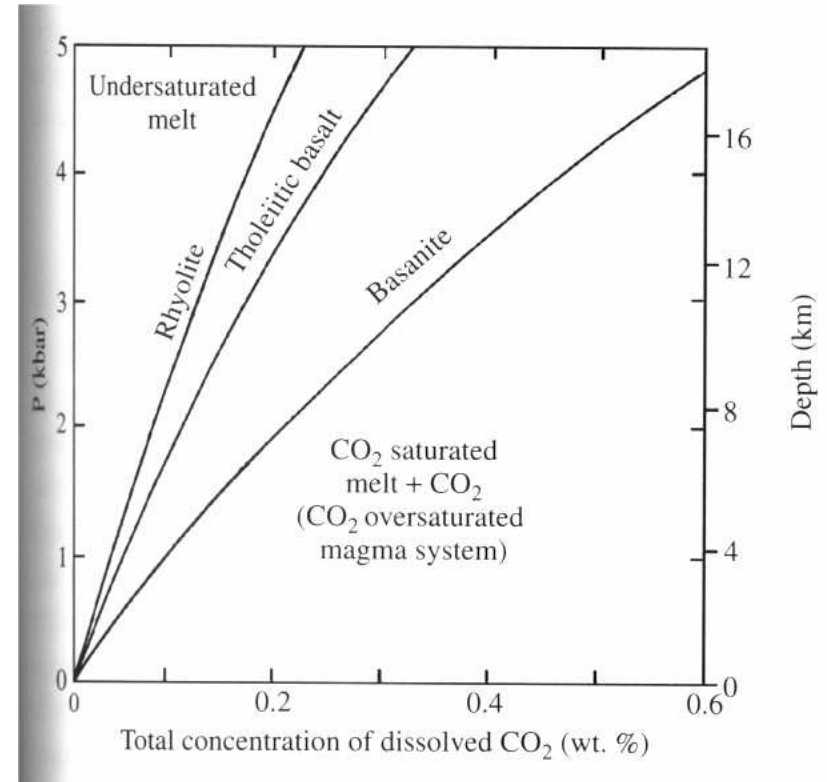
zhruba o řád menší než u vody za srovnatelných tlaků, roste s obsahem SiO₂ a H₂O; neváže se na můstkové kyslíky

S

Menší než několik tisíc ppm – S²⁻ v H₂O chudých ultramafických a mafických magmatech, SO₄²⁻ ve vodou bohatých intermediárních a kyselých magmatech. Poměr závisí na koncentraci rozpuštěného O₂. Z redukovaných mafických magmat se odmísí tavenina S-Fe-Cu

F

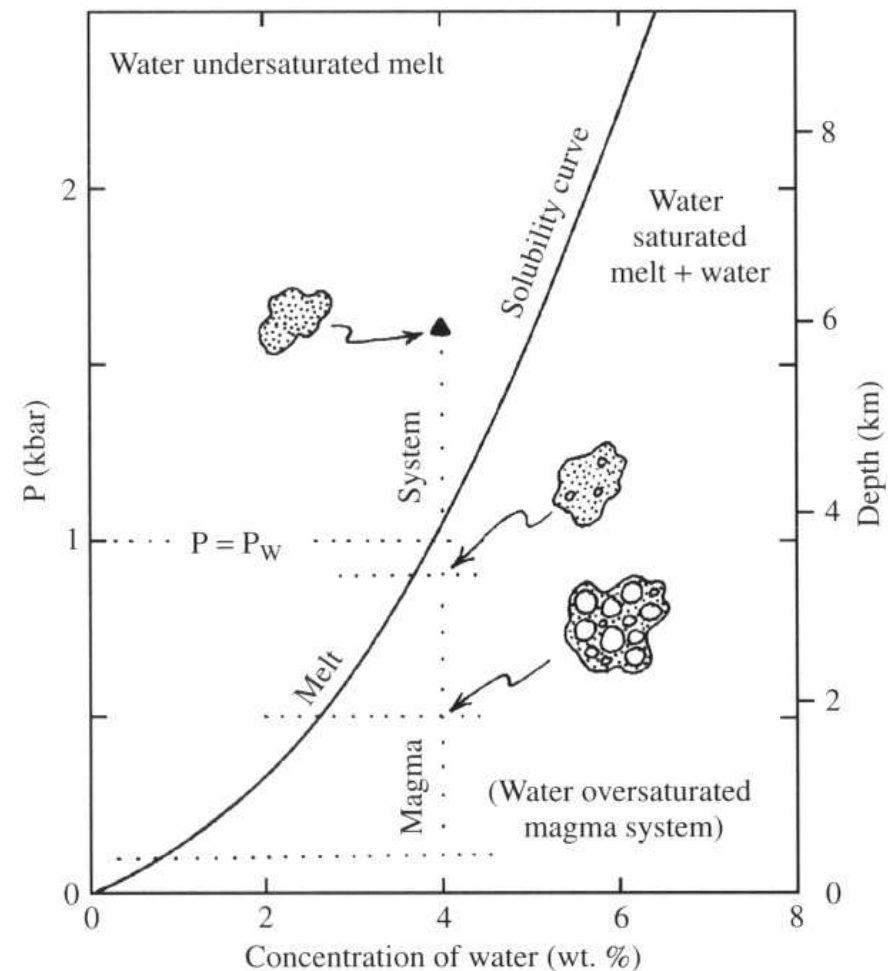
Experimentálně až 10 hm. %, výrazná depolymerace



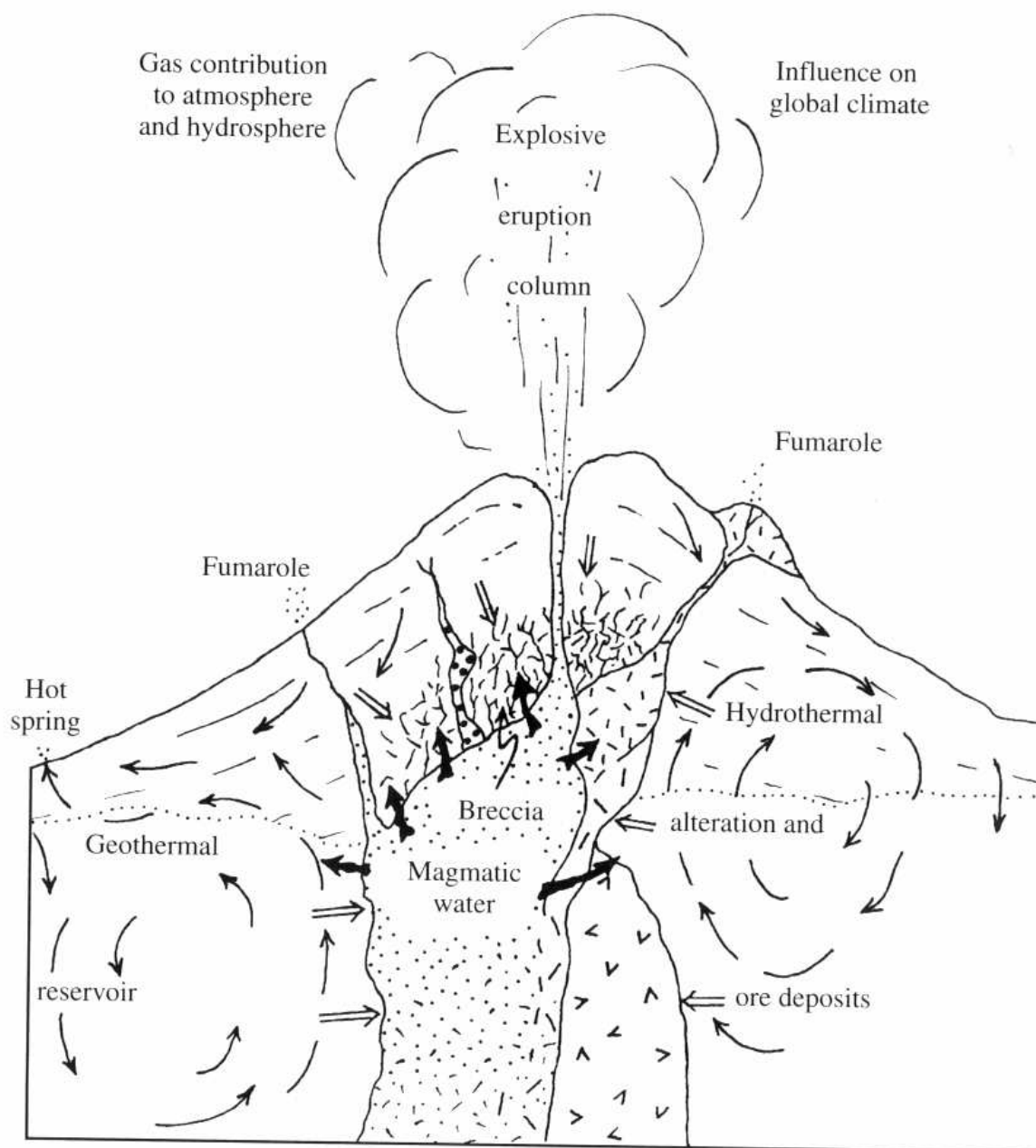
Oddělení těkavých látek od taveniny

Při výstupu z pláště nebo kůry se stává magma nasycené těkavými složkami. Jejich nadbytek se odděluje do koexistující fluidní fáze – exoluce, var

- původně vodou nenasycené magma se stává přesycené v důsledku klasajícího celkového tlaku
- krystalizace bezvodých minerálů i za konstantního tlaku – přesycení fluidy – retrográdní, sekundární var; může k němu docházet i při klesající teplotě!



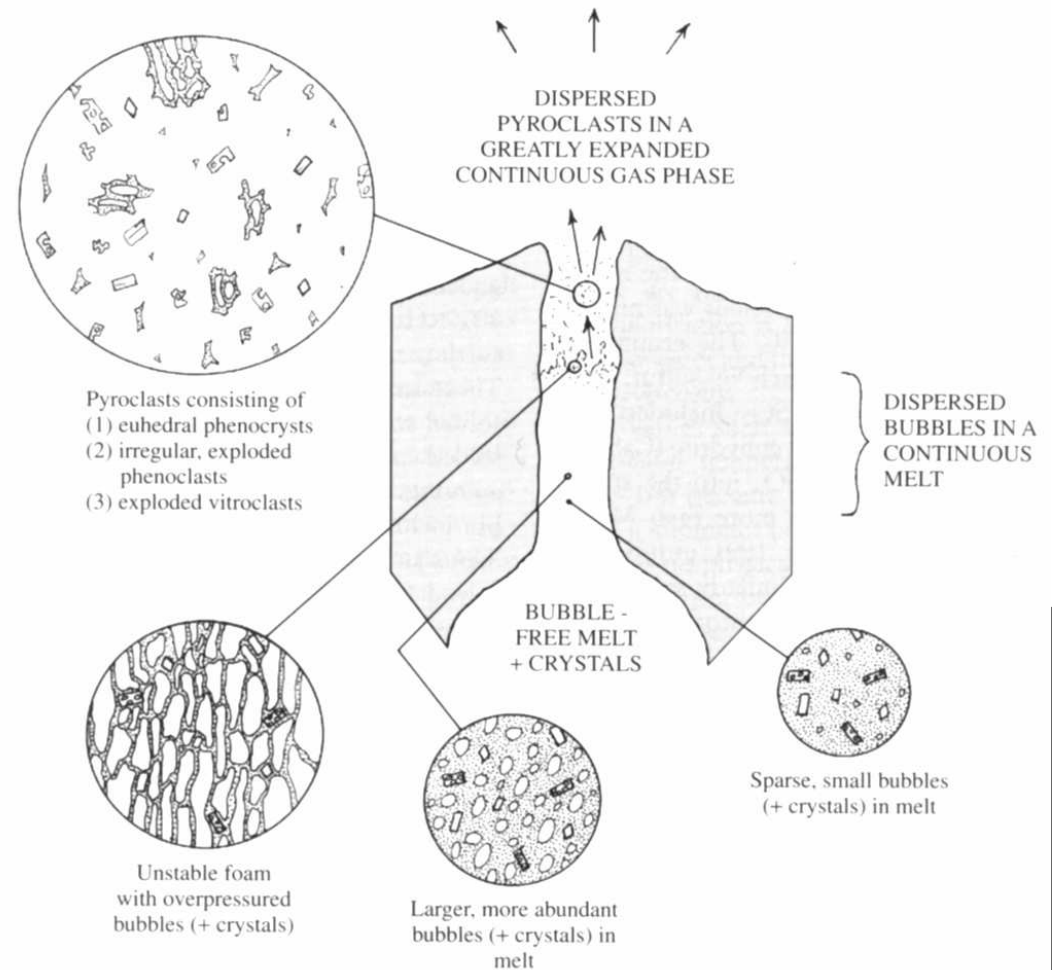
Oddělení fluidní fáze přispívá k dalšímu chlazení magmatického tělesa; chlazené může být tak rychlé, že vede k „zamrtznutí“ systému. Ve fluidní fázi se koncentrují nekompatibilní prvky a ta se hromadí ve svrchní části magmatického krbu (Mt. Pinatubo, Filipíny, červen 1991 – 17 megatun SO₂ do atmosféry; celkem vyvrženo 5–10 km³ materiálu; S pochází ze 40–90 km³ magmatu pod sopkou).



Důsledky exoluce fluid

Explosivní vulkanismus

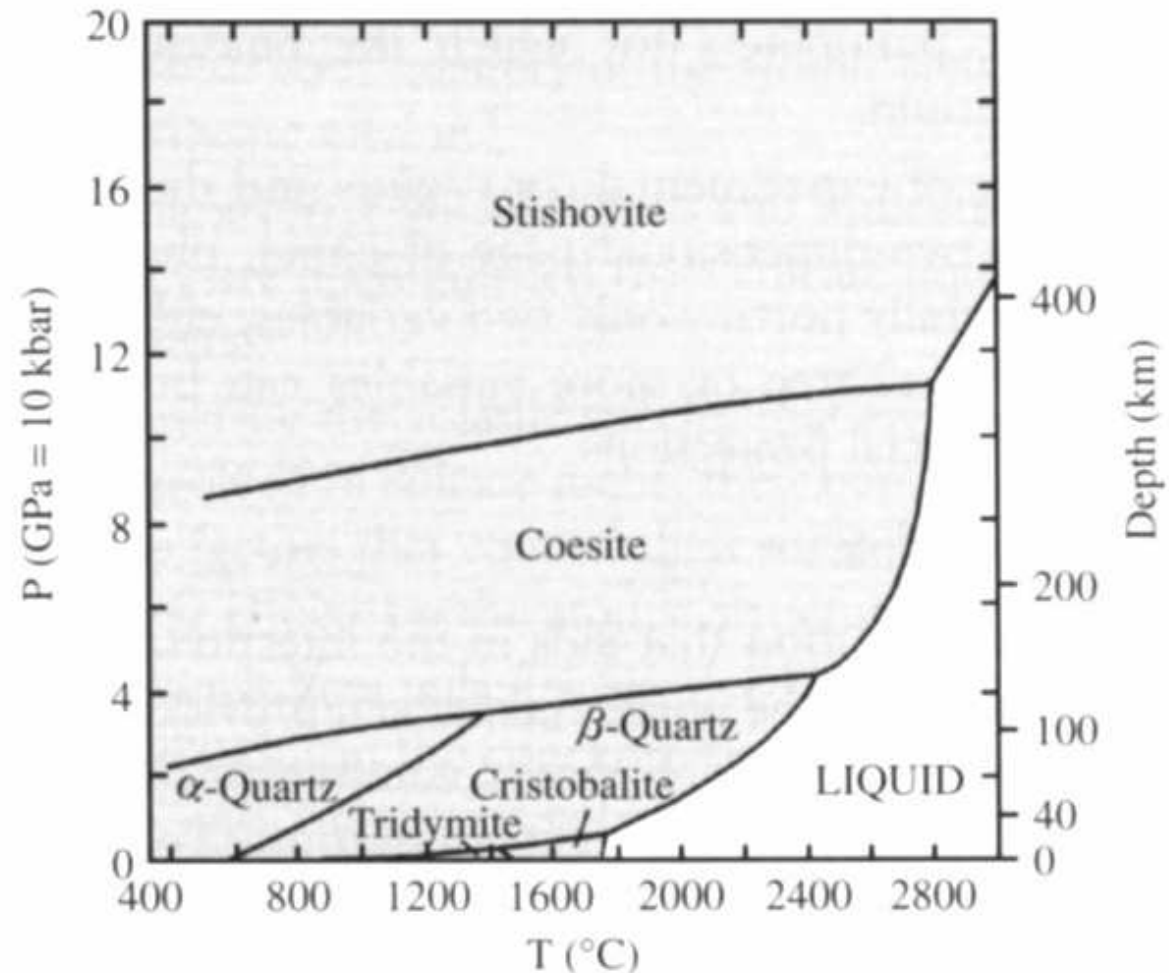
- 0,9 kbar – 3,6 % H₂O, 0,5 kbar – 2,6 % H₂O, 0,1 kbar – < 1 % H₂O
- objem fluidní fáze je mnohem větší než má stejné množství těkavých látek, které jsou rozpuštěny v tavenině – 99,3 : 22,3 cm³/mol H₂O v systému NaAlSi₃O₈ – H₂O při 950 °C a 1 kbar)
- fluidní fáze se rozpíná podle stavové rovnice ideálního plynu (PV = nRT)
- aerosoly, fumaroly, hydrotermální roztoky, rudní ložiska, alterované horniny, geotermální rezervoáry.



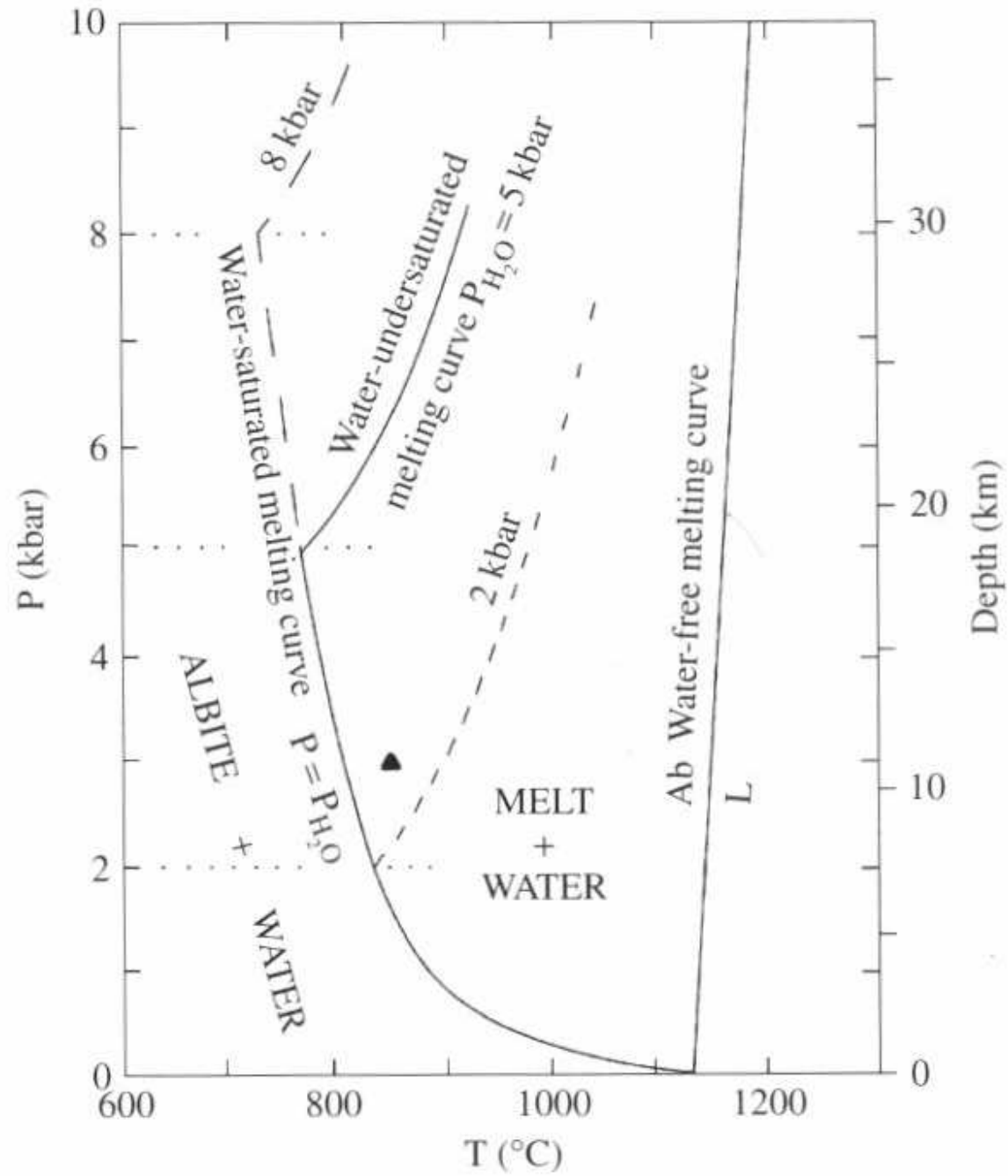
Rovnováhy krystaly-tavenina v magmatických systémech

Fázové diagramy

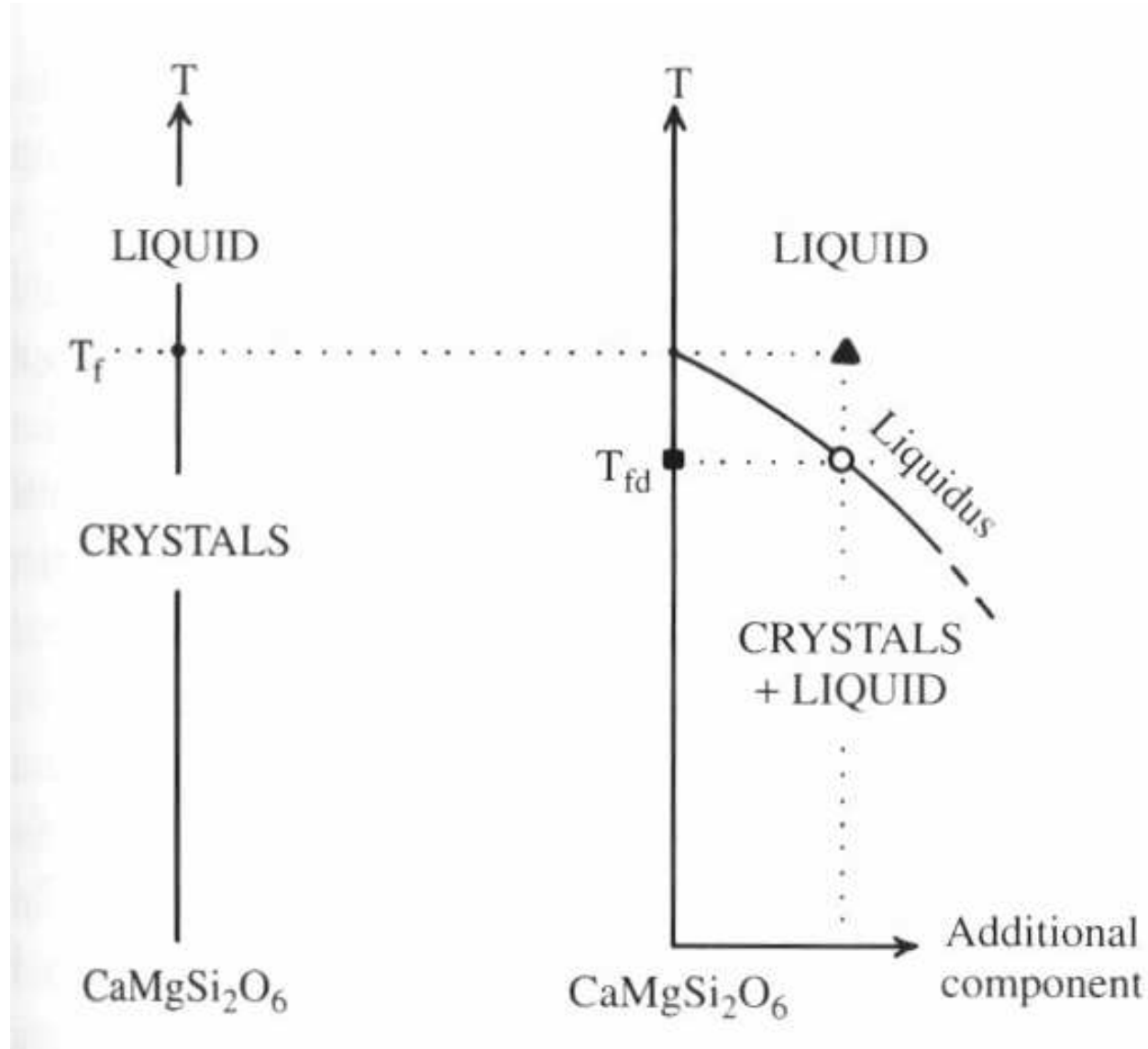
Tavení čistých minerálů a polymorfismus



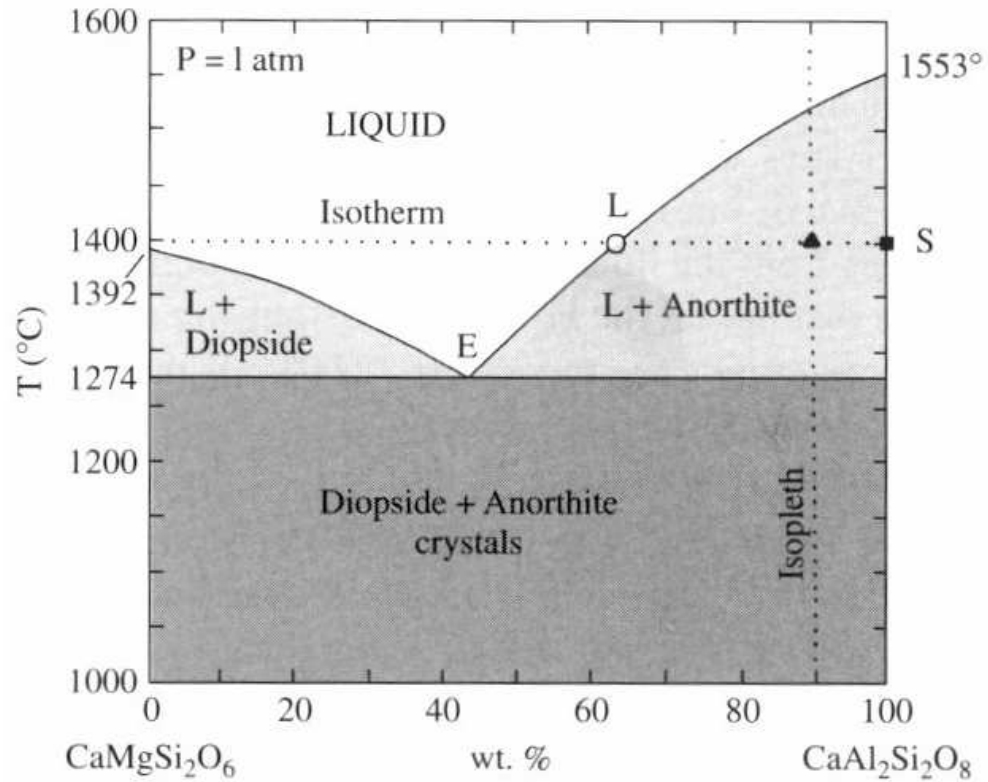
Fázové diagramy



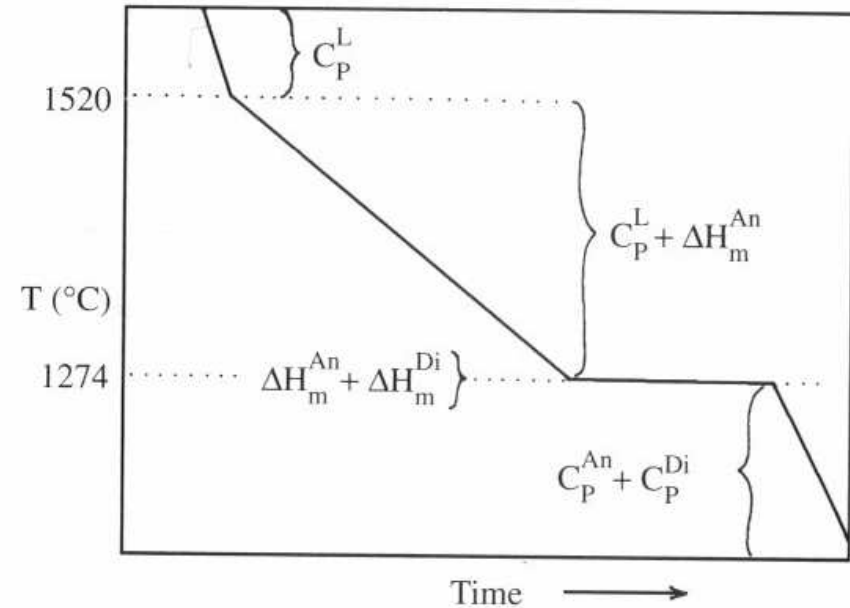
Fázové rovnováhy binárních systémů



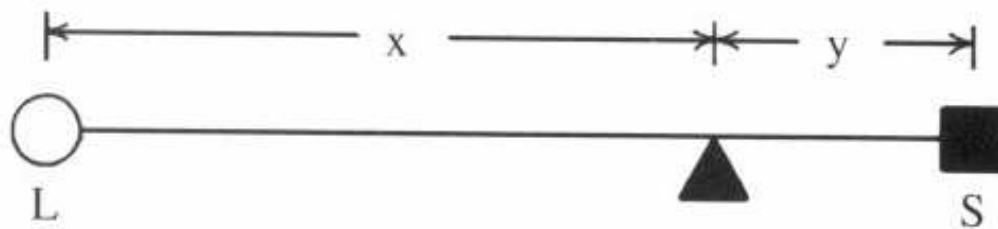
Fázové rovnováhy binárních systémů



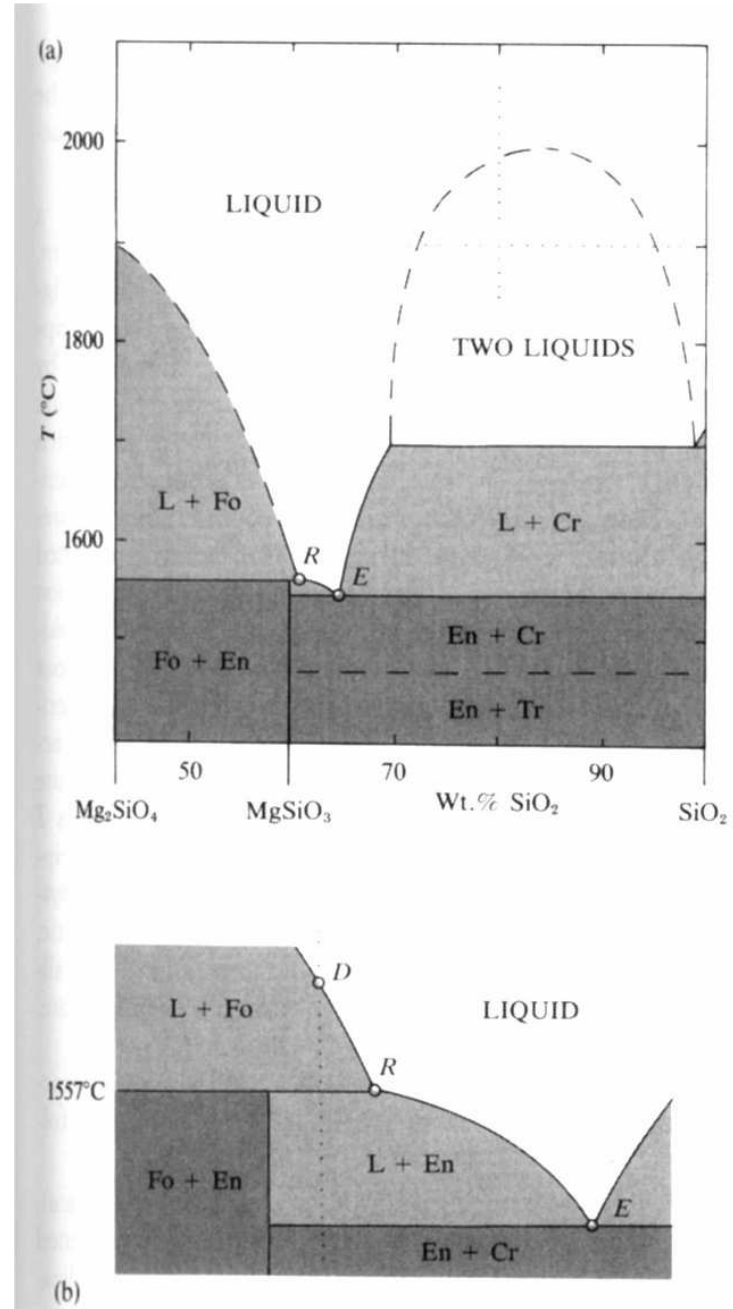
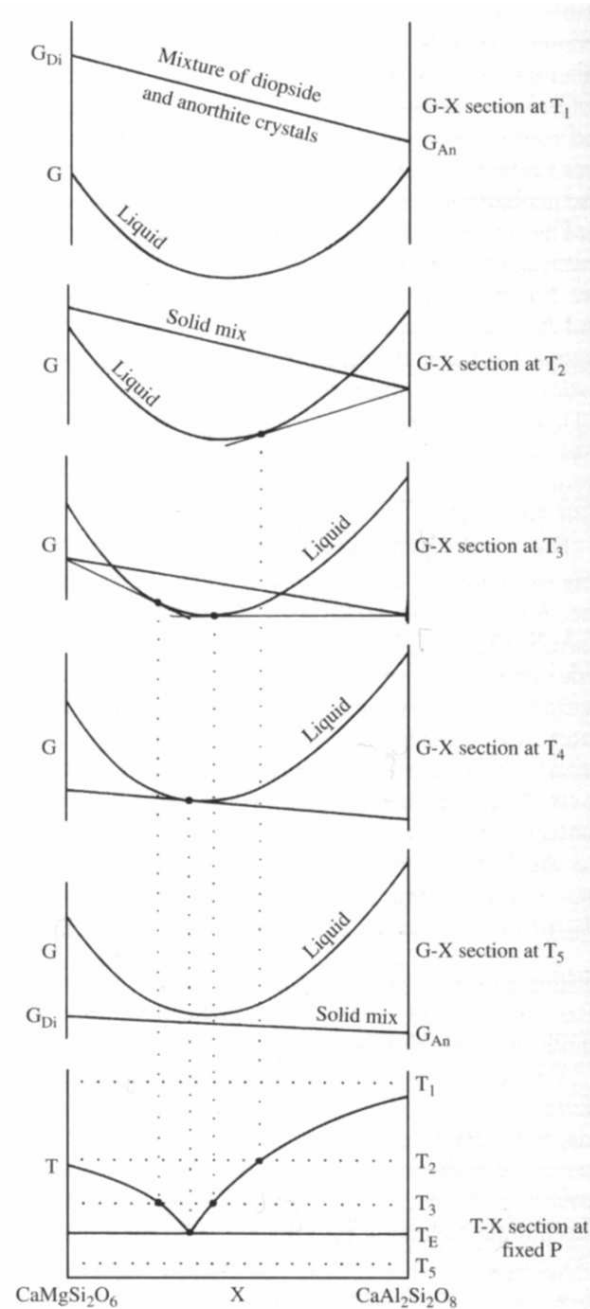
Chladnutí



Pákové pravidlo



G-T-X profil



Krystalizace

Ideální rovnovážná krystalizace

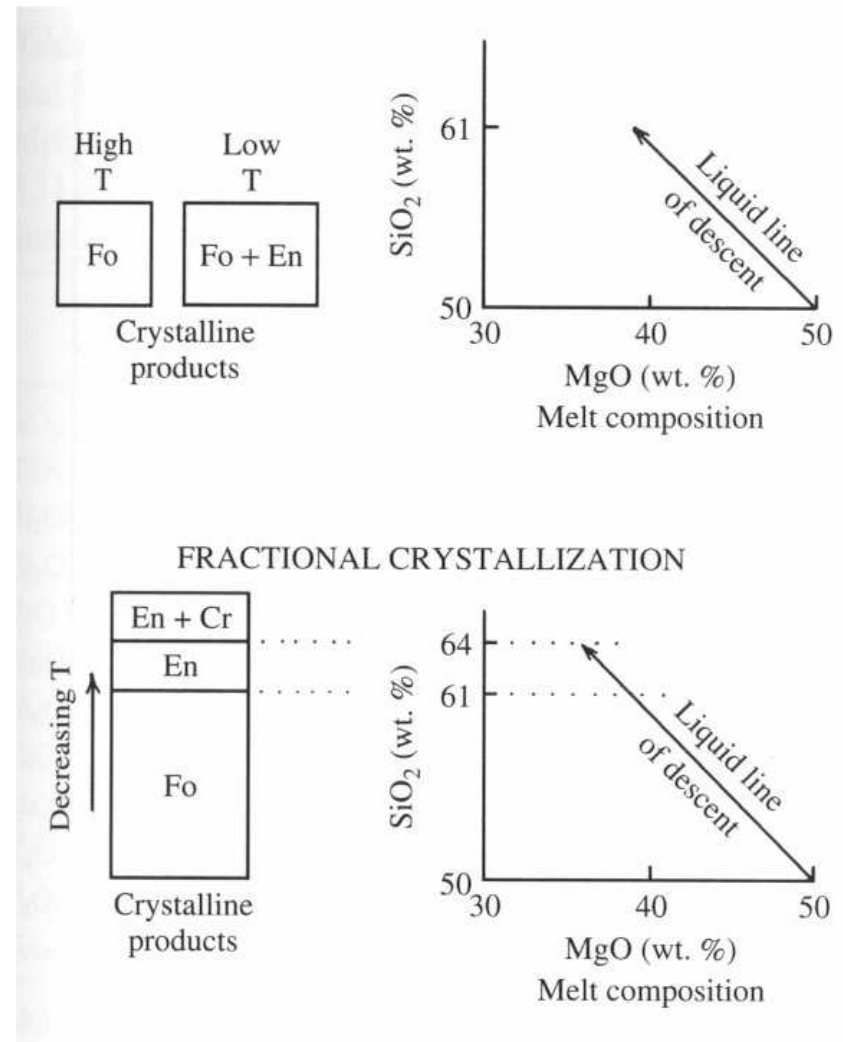
- Po celou dobu krystalizace zachovávána rovnováha mezi krystaly a taveninou

Ideální frakční krystalizace

Krystaly jsou okamžitě „izolovány“ od taveniny.

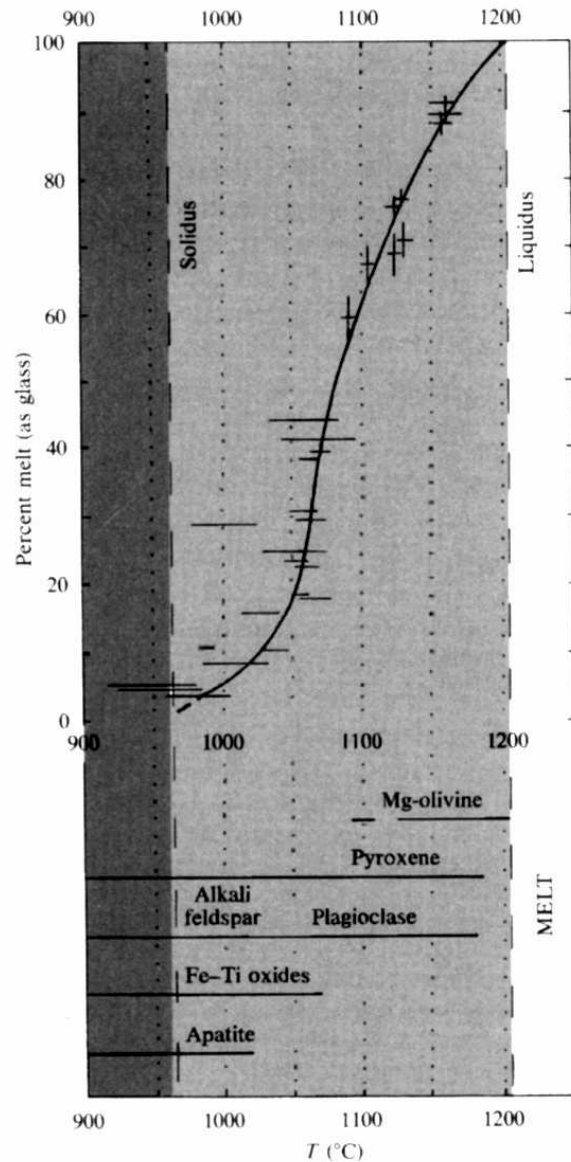
- krystaly jsou odděleny od taveniny v důsledku rozdílné hustoty
- krystaly s taveninou nereagují v důsledku pomalé rychlosti vzájemné interakce
- povrchová vrstva je izolována od taveniny další přirůstající vrstvou

Složení reziduální taveniny

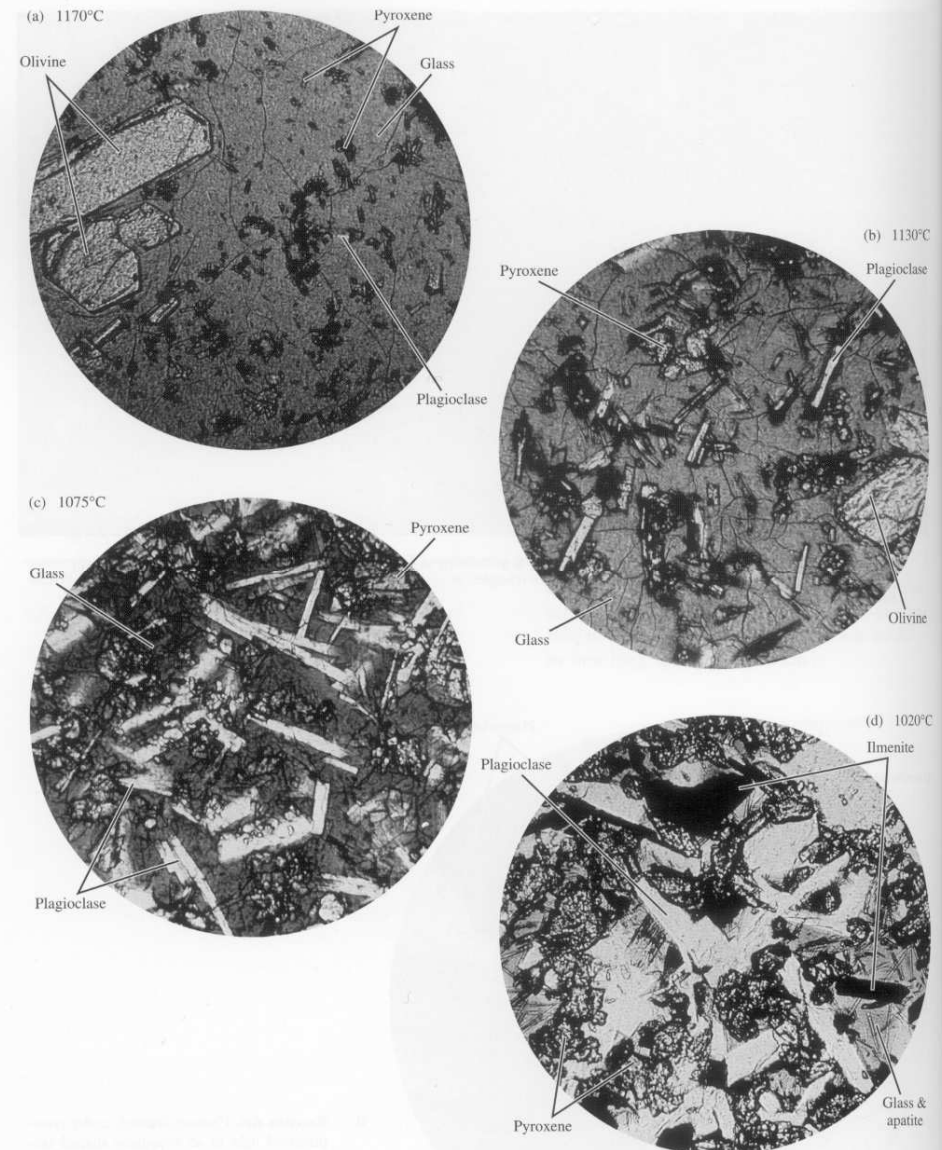


Krystalizace reálných bazaltových magmat

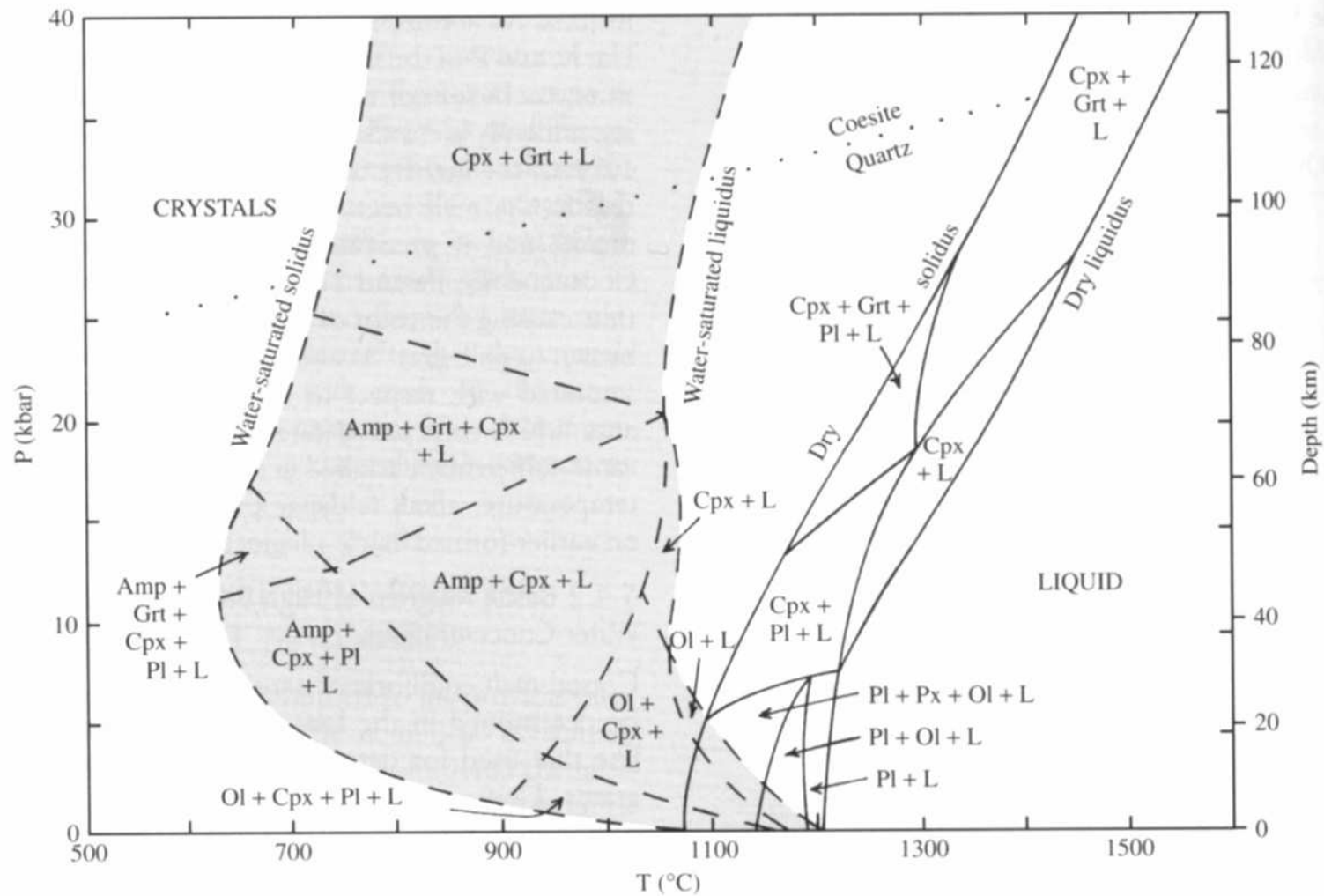
Makaopuhi bazalt 1963 Kilauea, Hawaii – Makaopuhi kráter



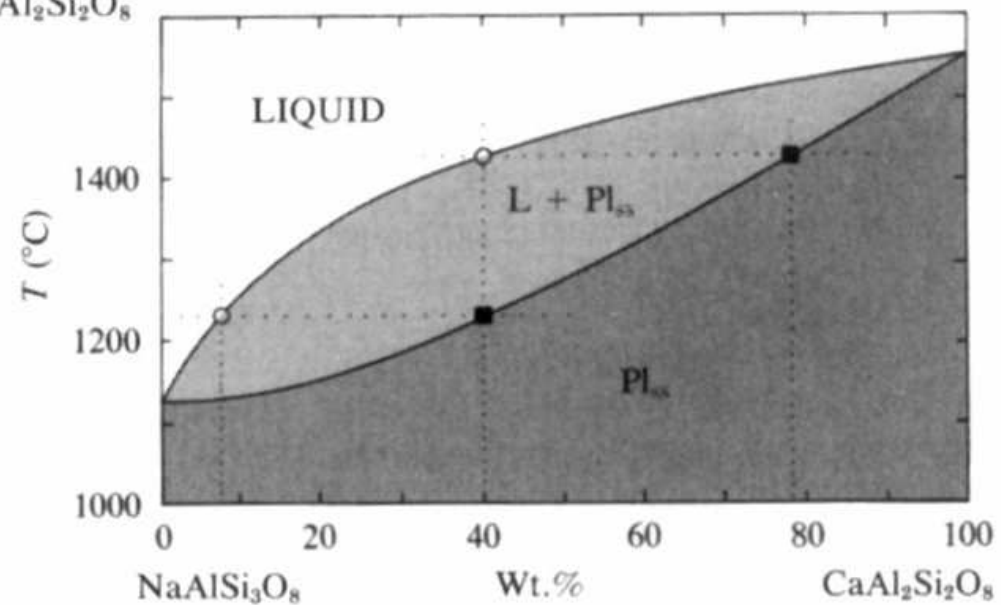
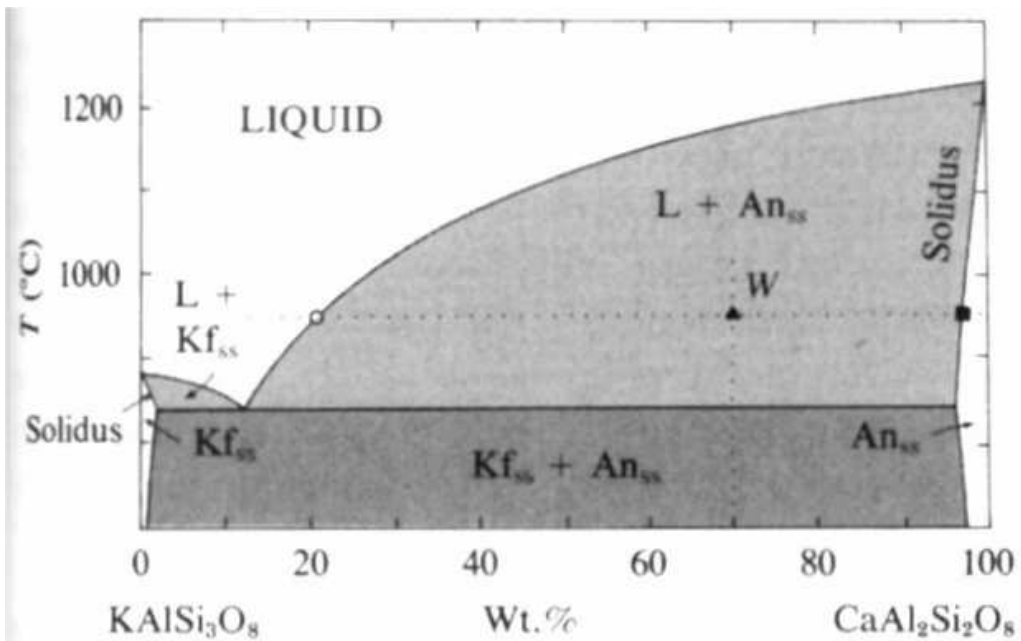
Josef Zeman



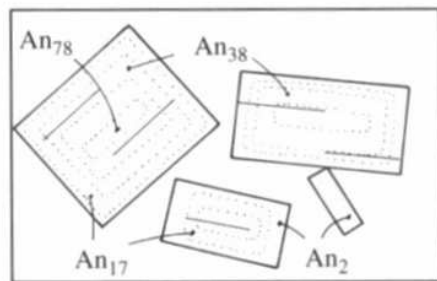
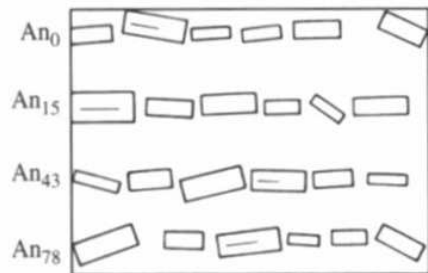
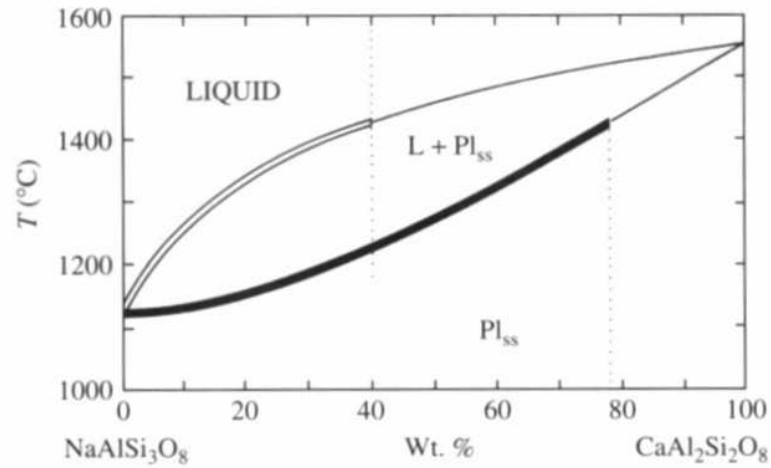
Obecný diagram pro tholeitové bazalty



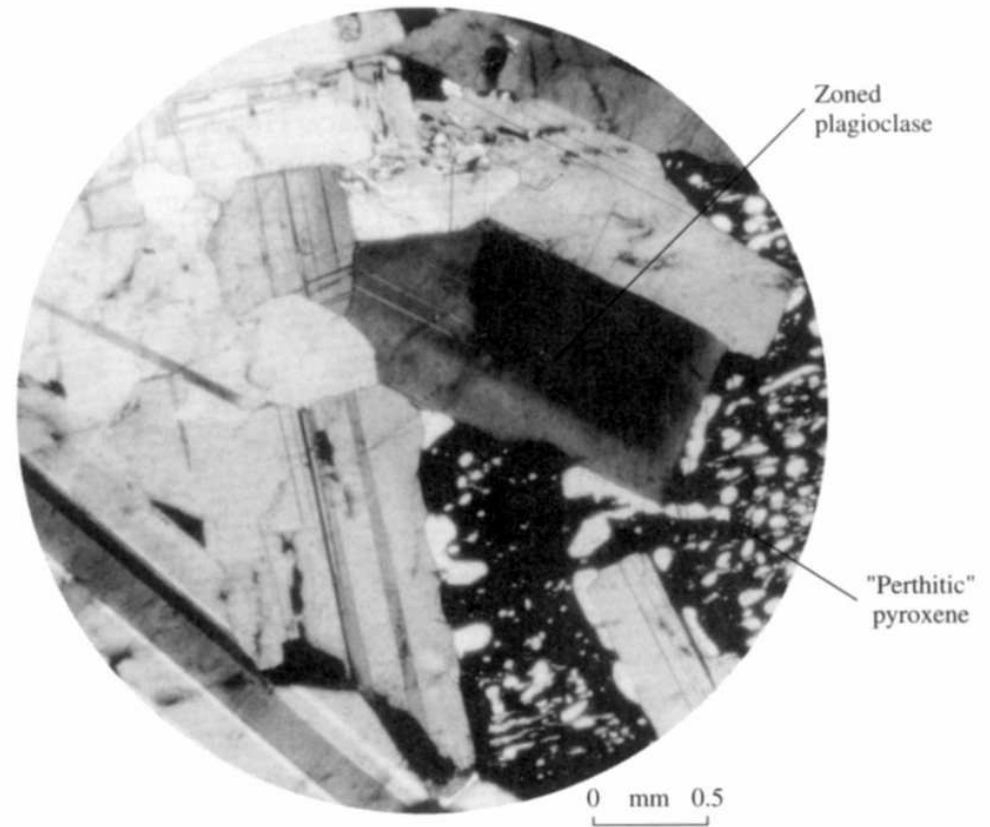
Fázové diagramy živců



Fázové diagramy živců



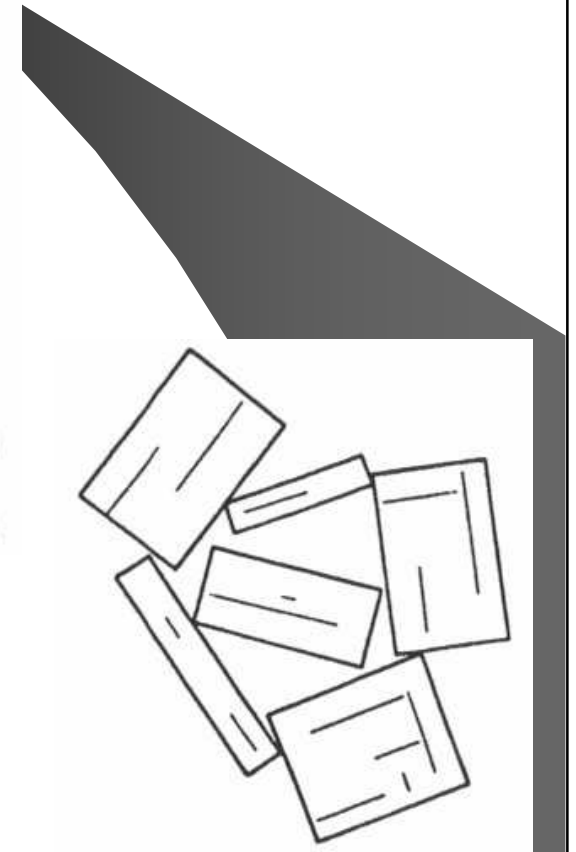
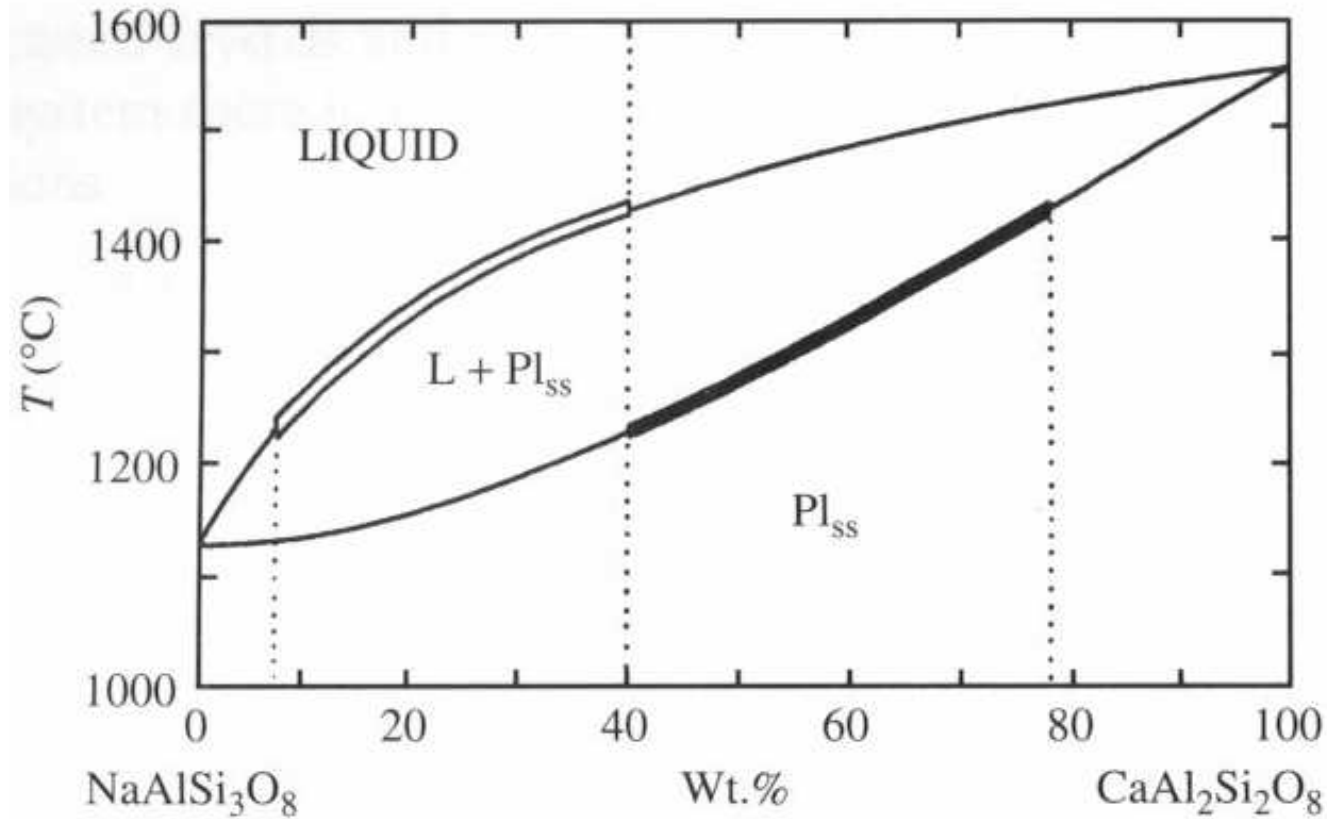
Frakční krystalizace



Zonální plagioklas z gabra, Skaergaard intruze, Grónsko; v pevné fázi odmišený pyroxen (Ca-bohatý a Ca-chudý člen).

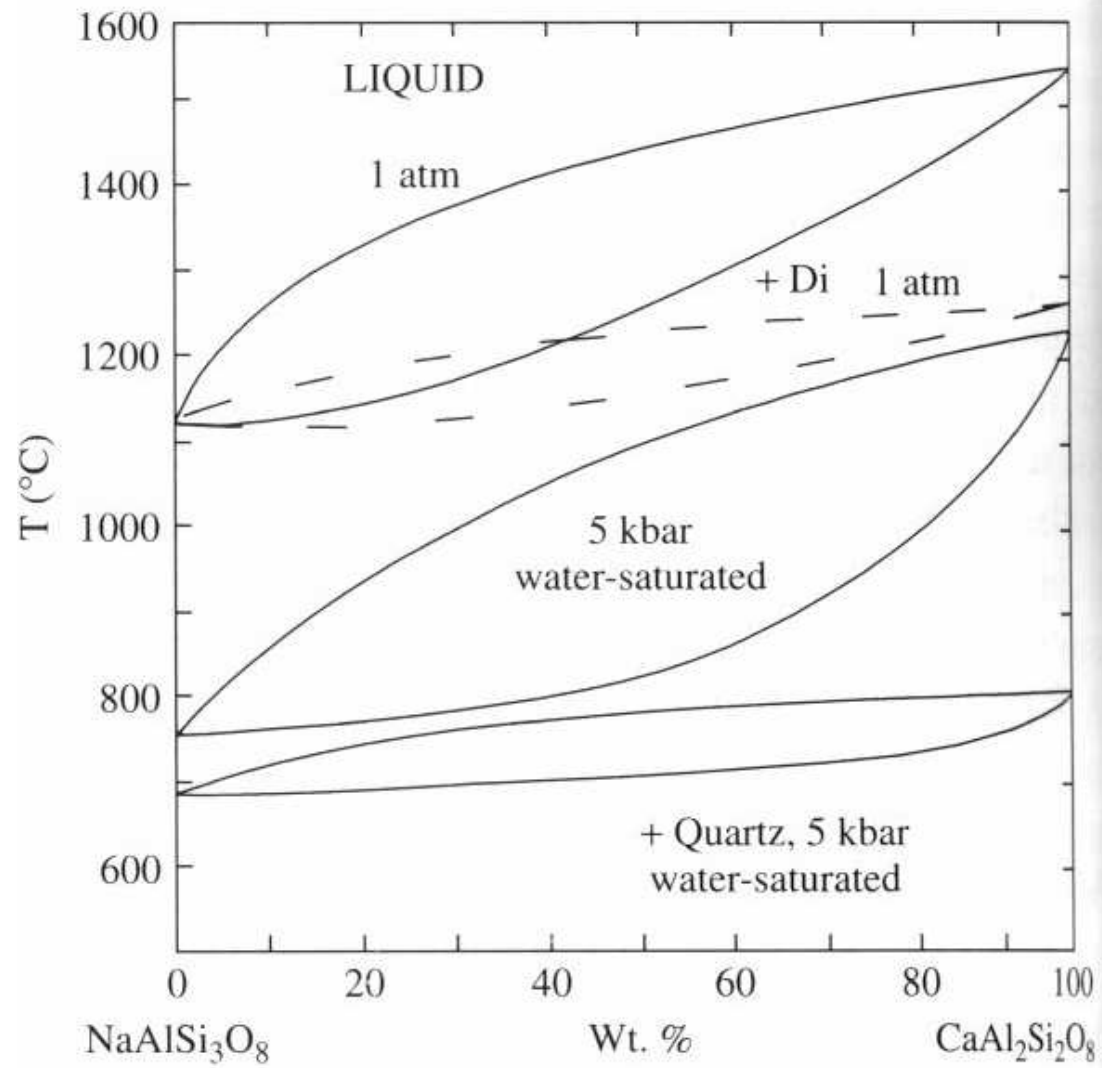
Fázové diagramy živců

Rovnovážná krystalizace



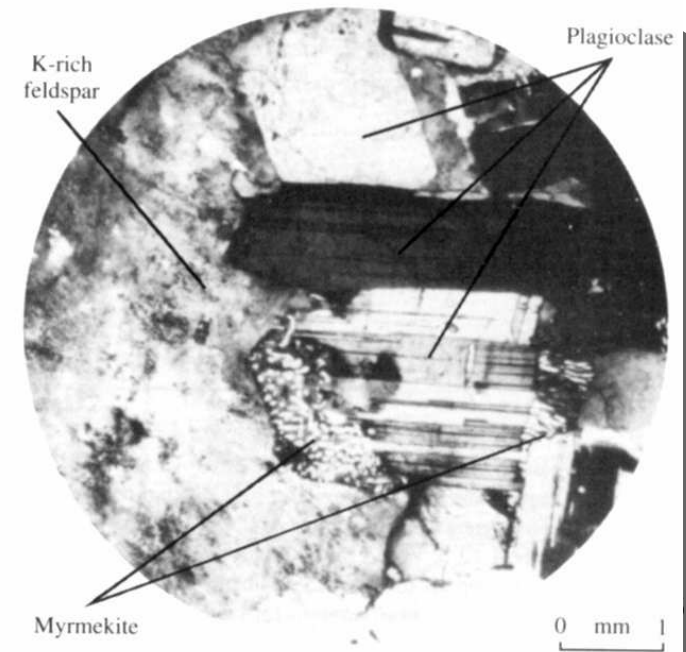
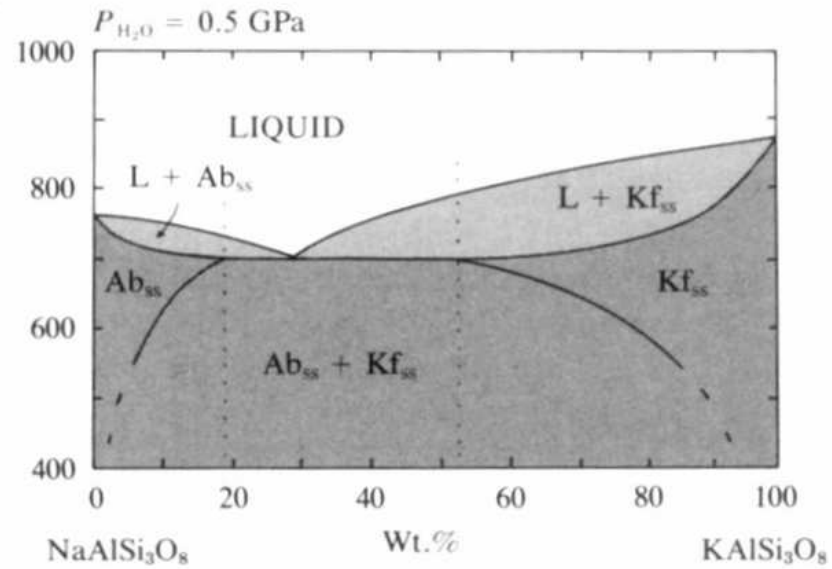
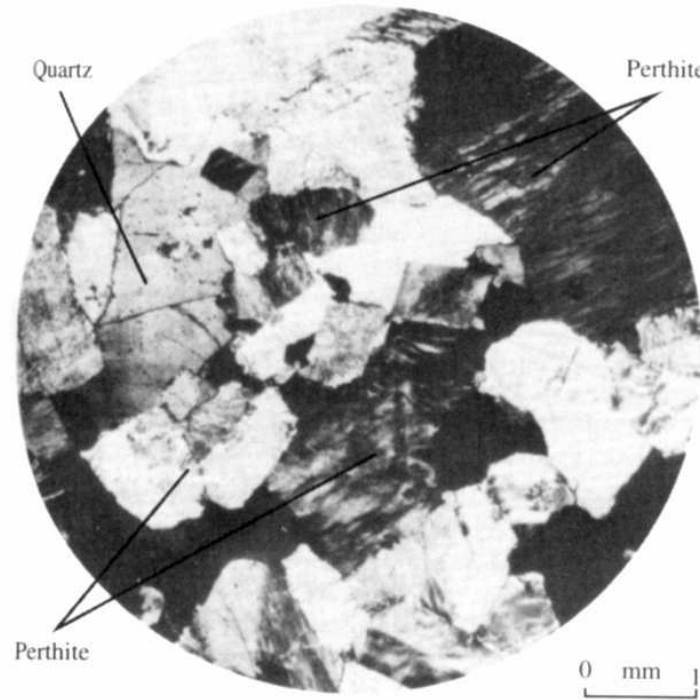
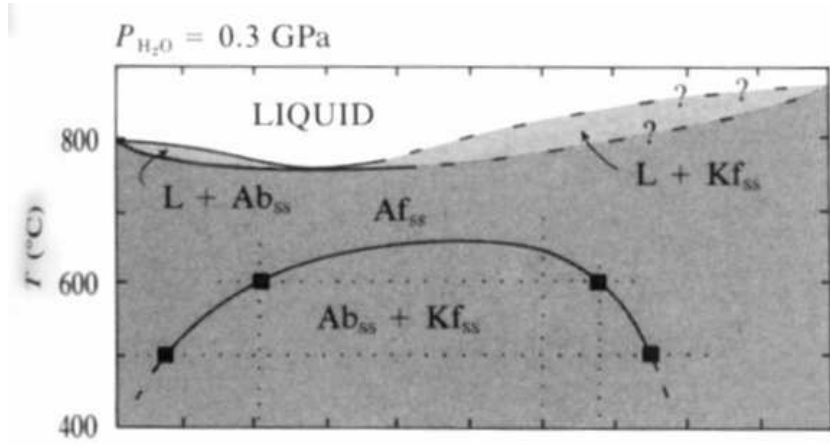
Fázové diagramy živců

Ternární systém Kf-Ab-An



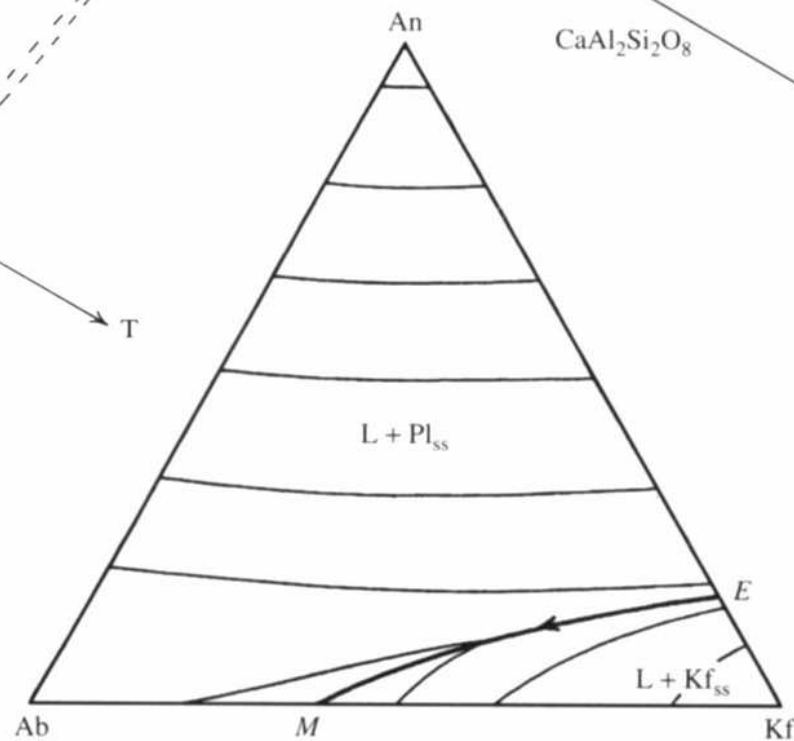
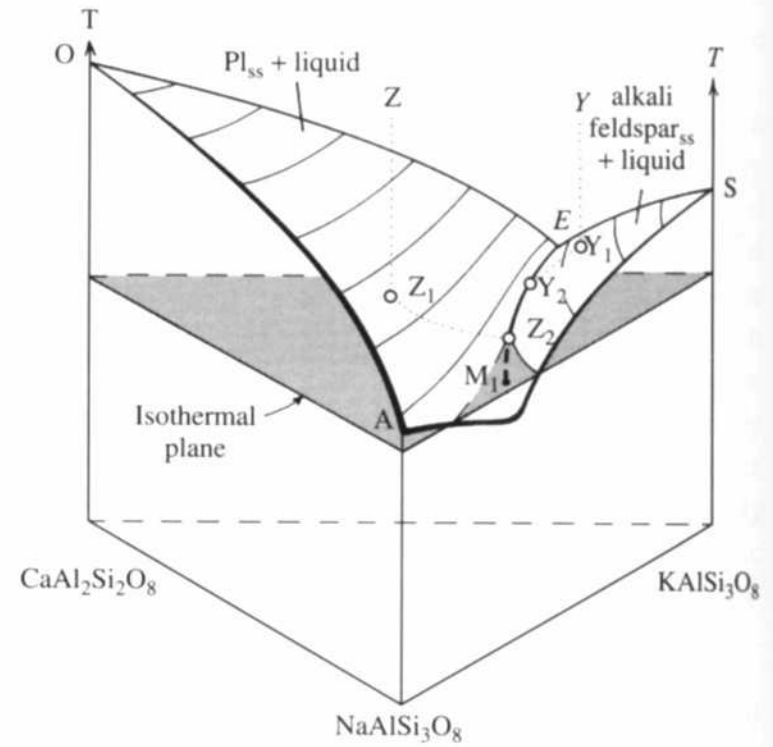
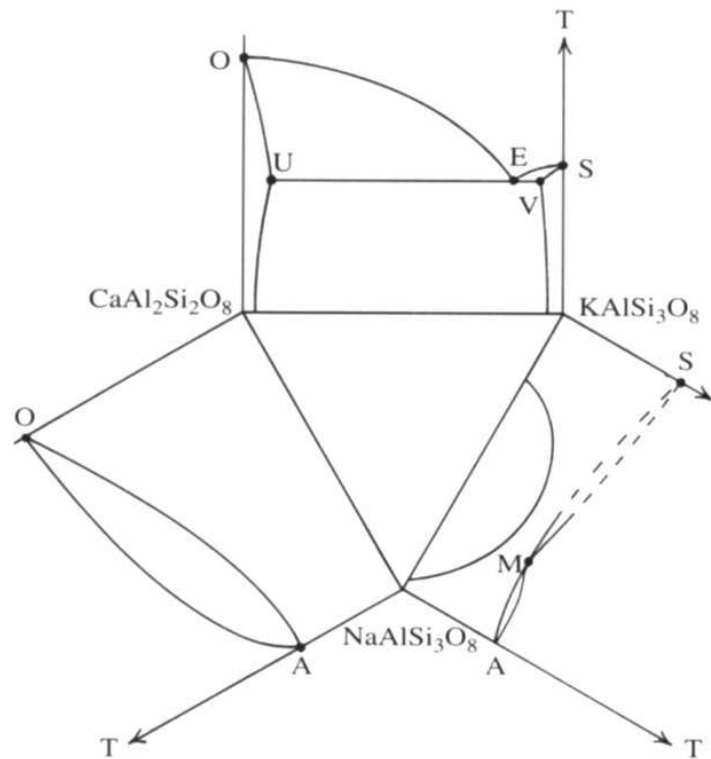
Fázové diagramy živců

Ternární systém Kf-Ab-An



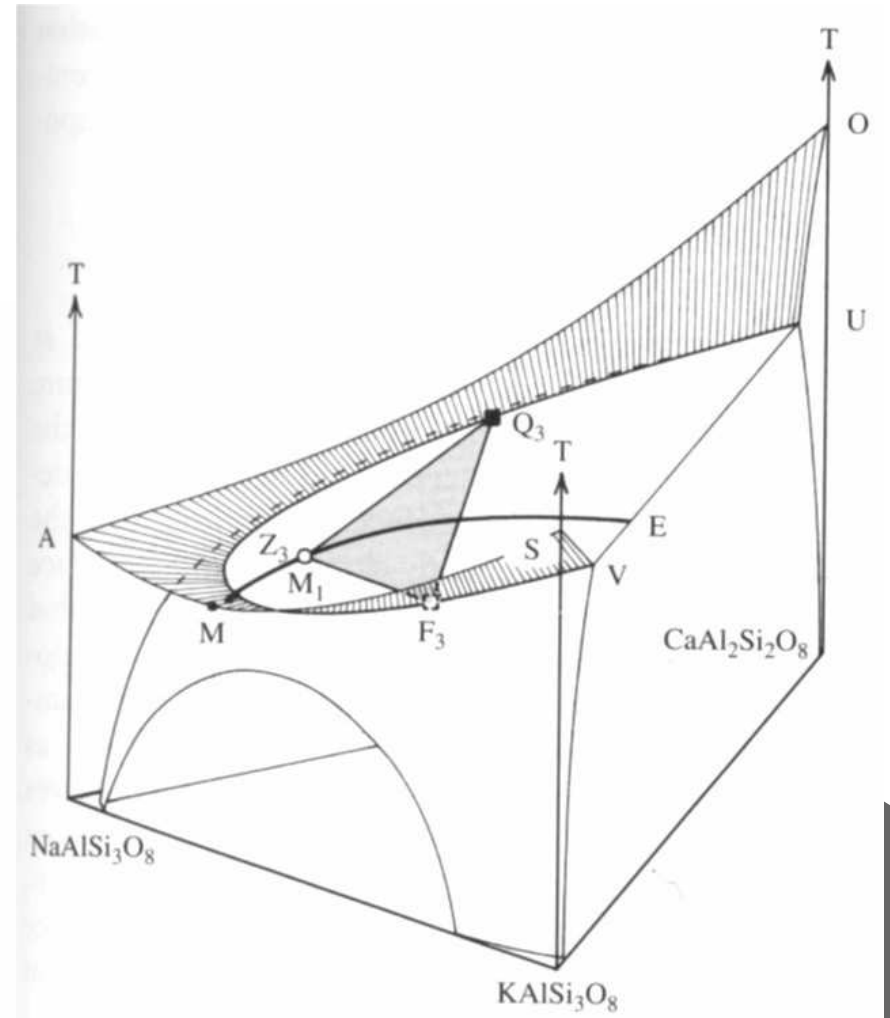
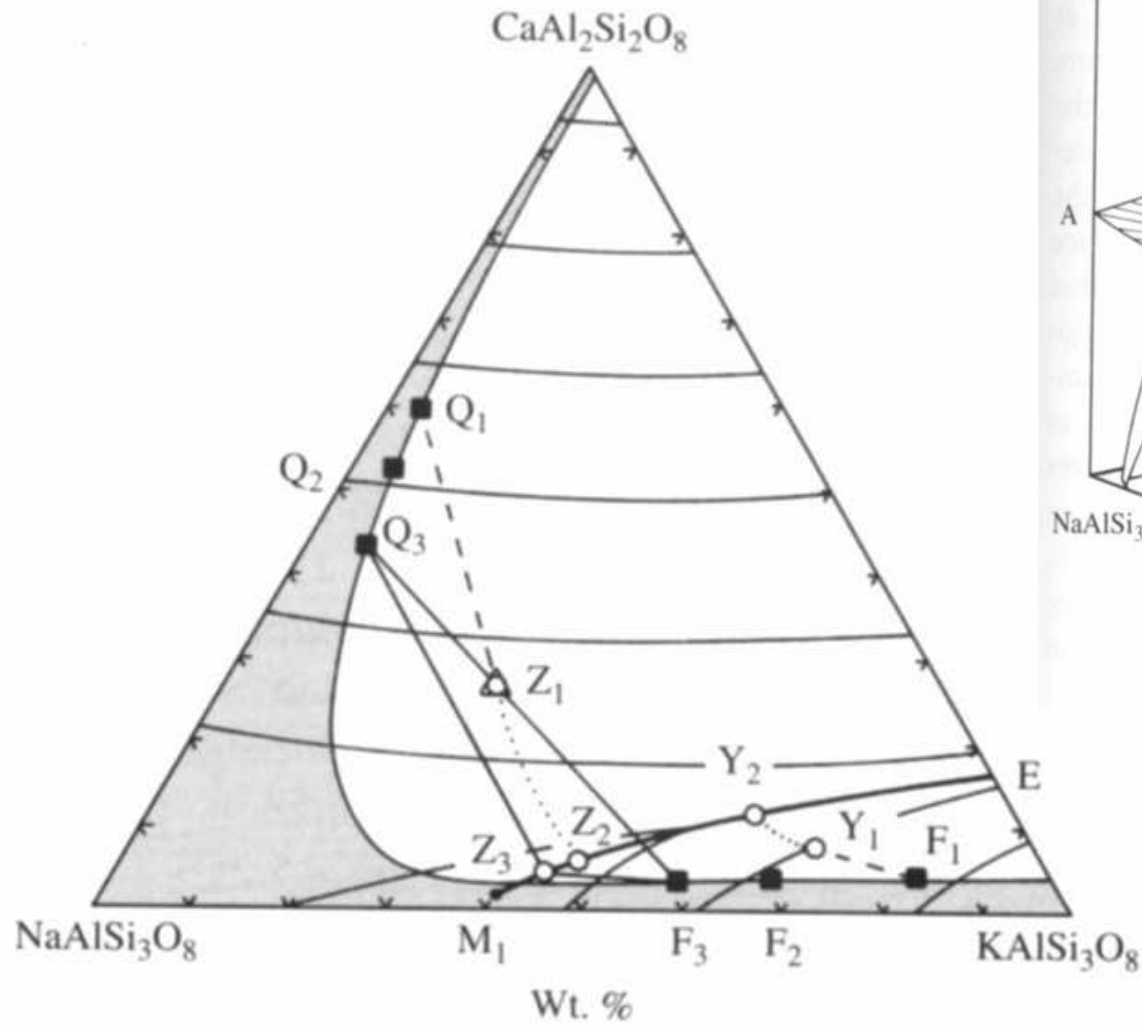
Fázové diagramy živců

Ternární systém Kf-Ab-An



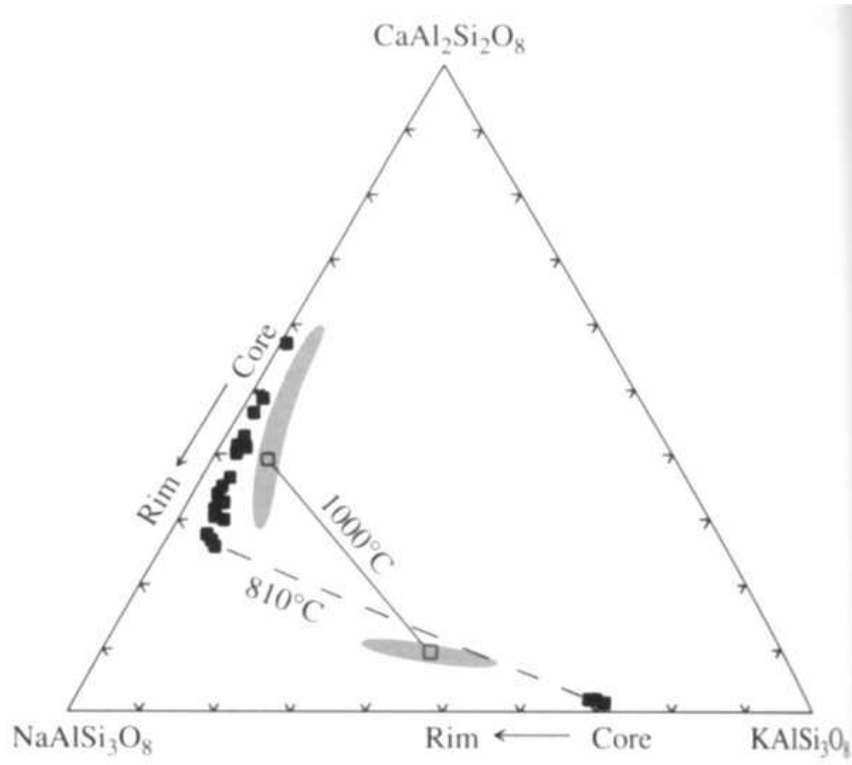
Fázové diagramy živců

Ternární systém Kf-Ab-An



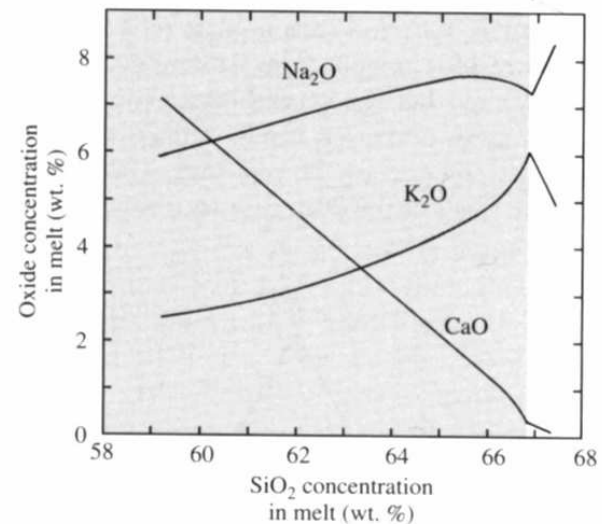
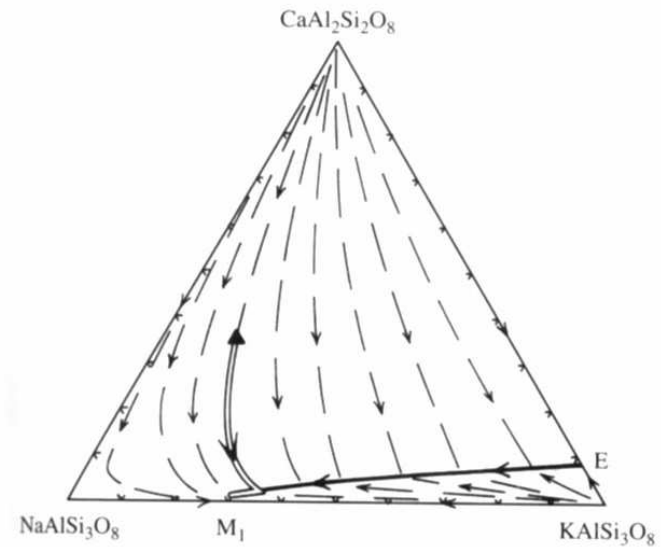
Fázové diagramy živců

Ternární systém Kf-Ab-An



1 000 °C – trachybazalt
810 °C – ryolitové pumy v tufu

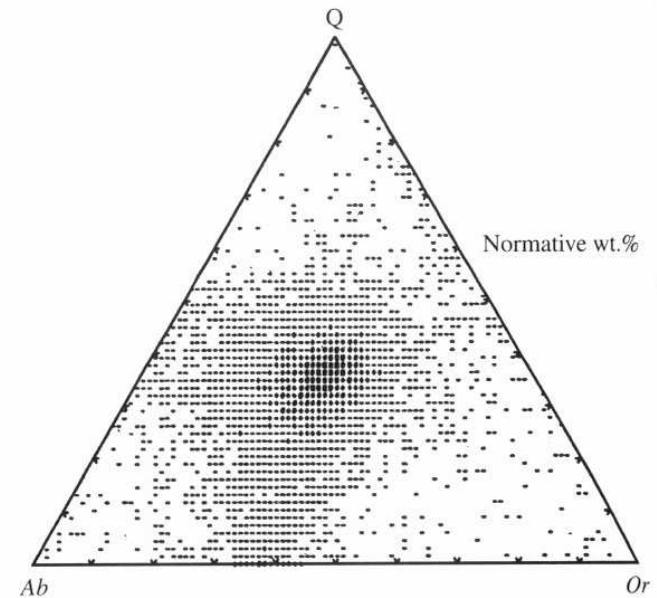
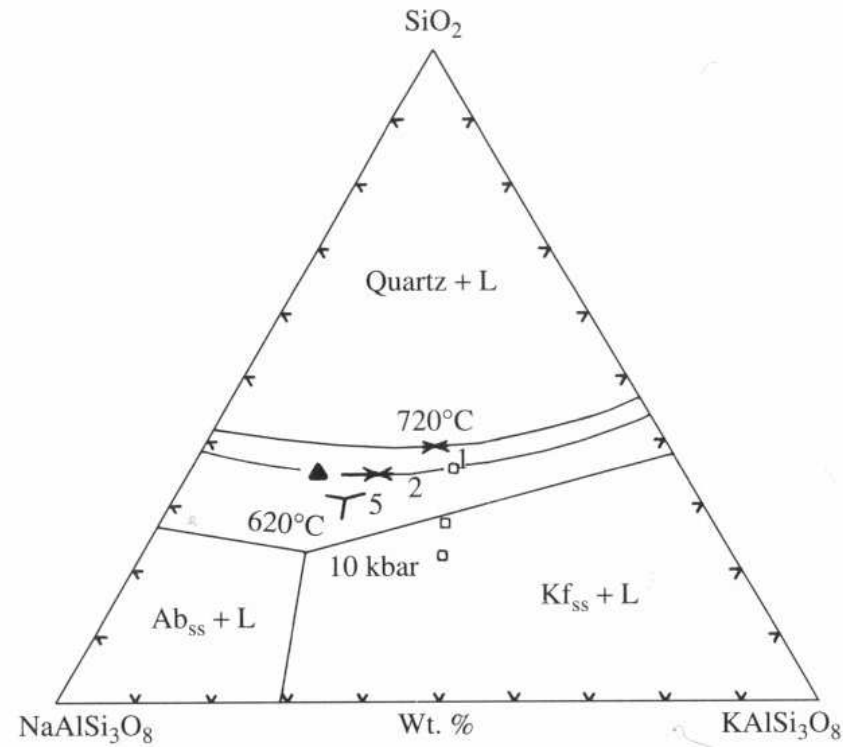
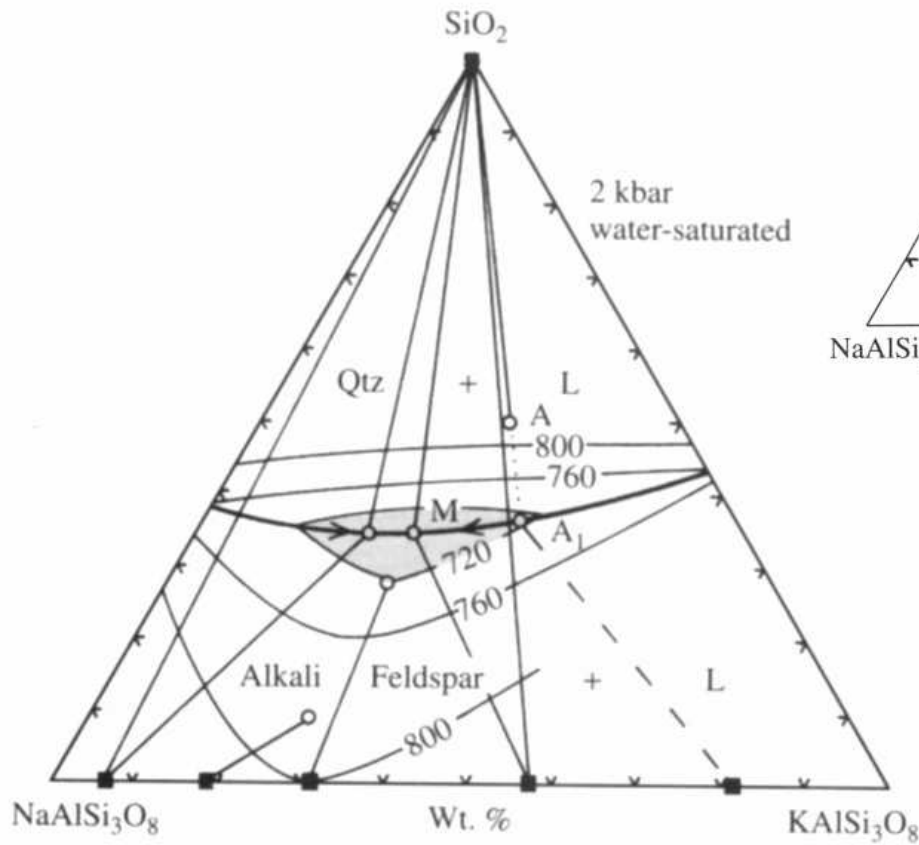
Frakční krystalizace



Fázové diagramy živců

Ternární systém Kf-Ab-SiO₂

Vliv vody



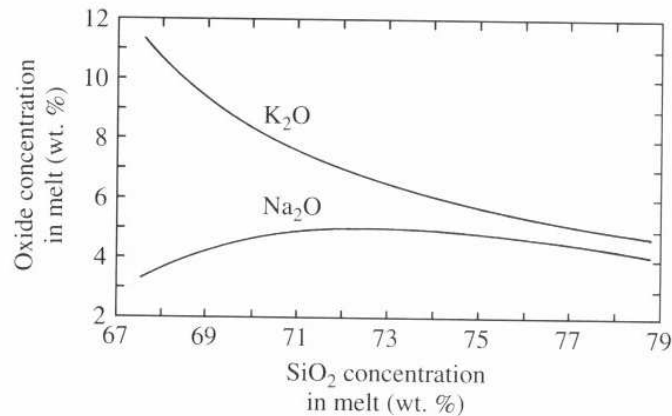
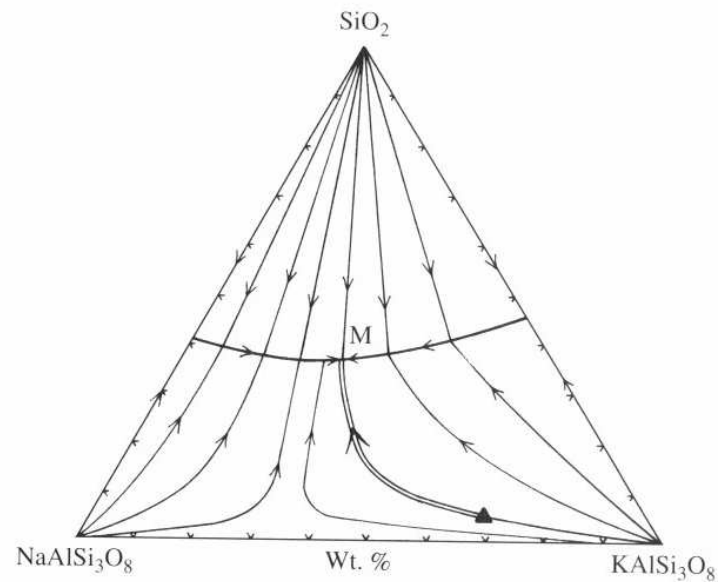
7 659 granitických hornin

Josef Zeman

Fázové diagramy živců

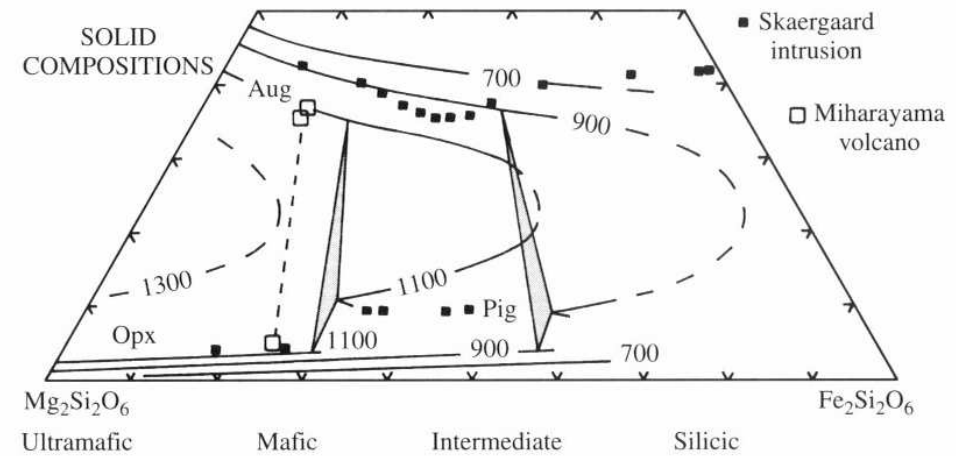
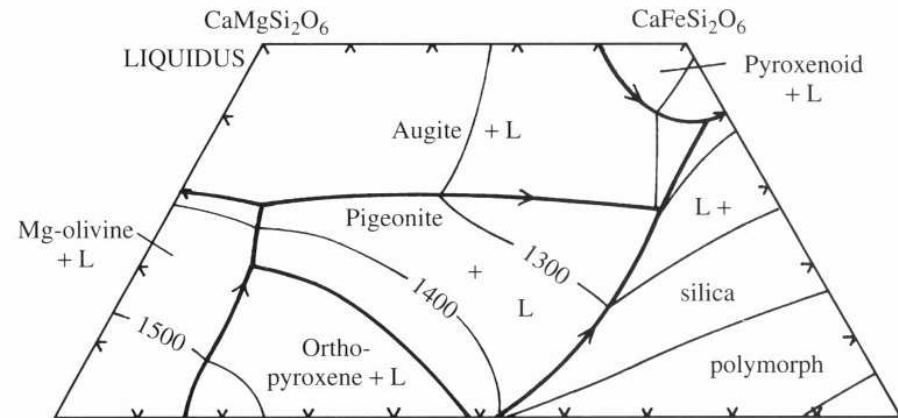
Ternární systém Kf-Ab-SiO₂

Frakční krystalizace



Josef Zeman

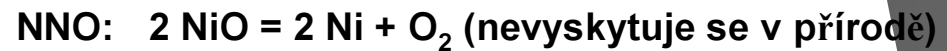
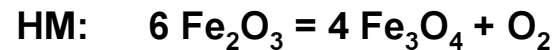
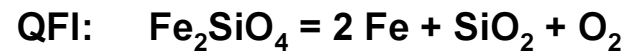
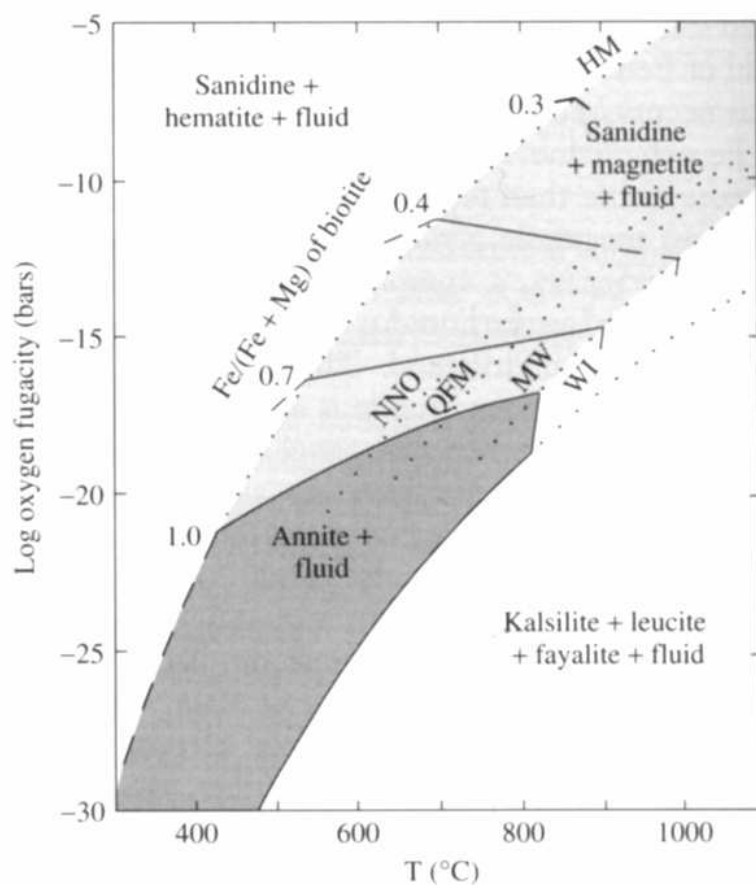
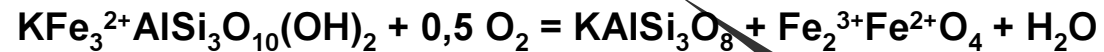
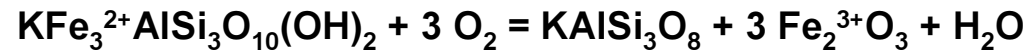
Přítomnost dalších fází: olivín a pyroxeny



- Tři koexistující pyroxeny - trojúhelníky
- Plné čtverečky – Skaergaard intruze
- Prázdné čtverečky – fenokrysty z bazaltových proudů Mihara-yama vulkánu

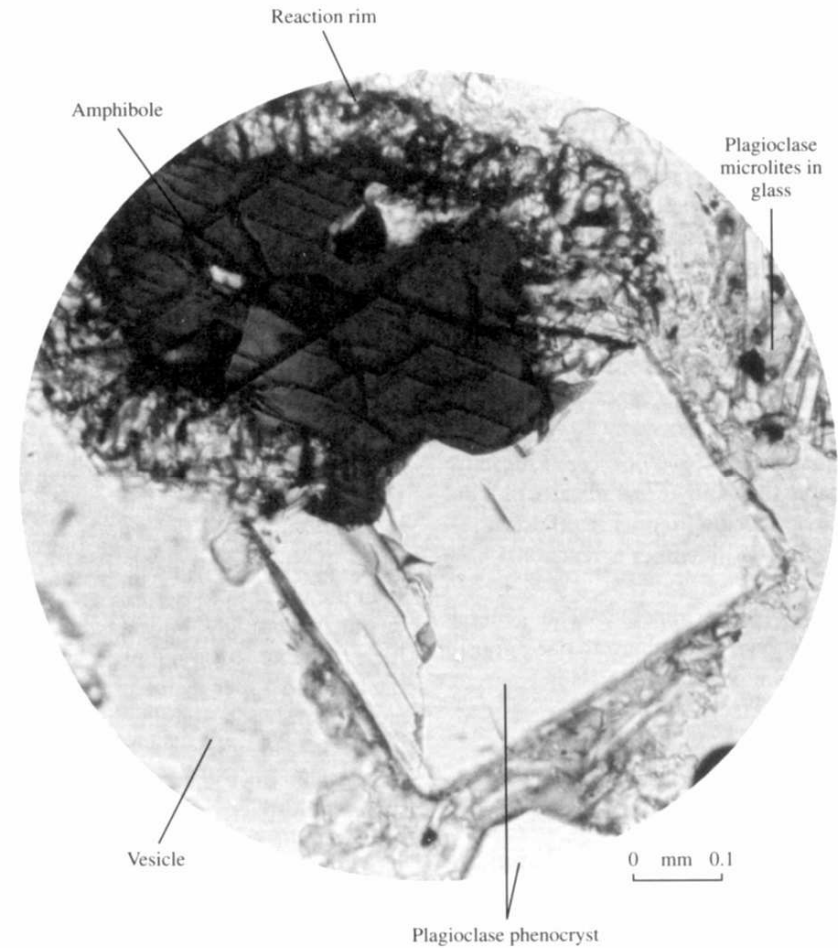
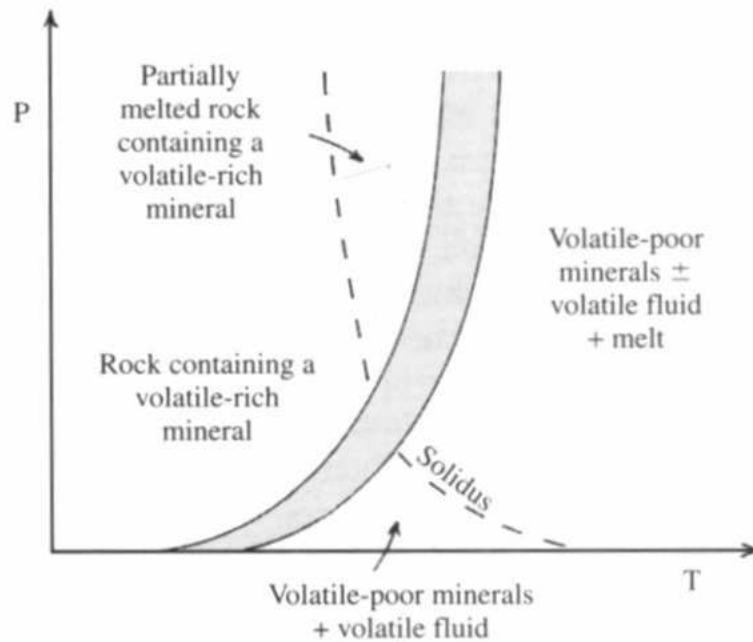
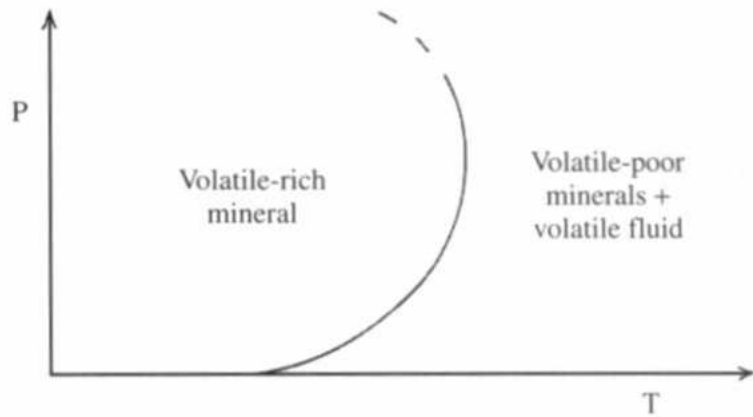
Fázové diagramy slíd a amfibolů

Stabilita Mg-Fe biotitu (Fe slída – annit)



Termická stabilita minerálů s těkavými složkami

teplo + minerál bohatý na těkavé složky = minerál bez těkavých složek + fluidní fáze



St. Helen – rovnováha magmatu při 900 °C a 2,2 kbar (hloubka 8 km)

amfibol → opx, cpx, plagioklas, ilmenit

amfibol reagoval s taveninou

Geothermometry a geobarometry

Fe-Ti oxidy:

ulvöspinel-magnetit $\text{Fe}_2\text{TiO}_4\text{-Fe}_3\text{O}_4$

ilmenit-hematit $\text{FeTiO}_3\text{-Fe}_2\text{O}_3$

Určíme: f_{O_2} a T)

alkalický živec – plagioklas

Určíme: T

Cpx – opx

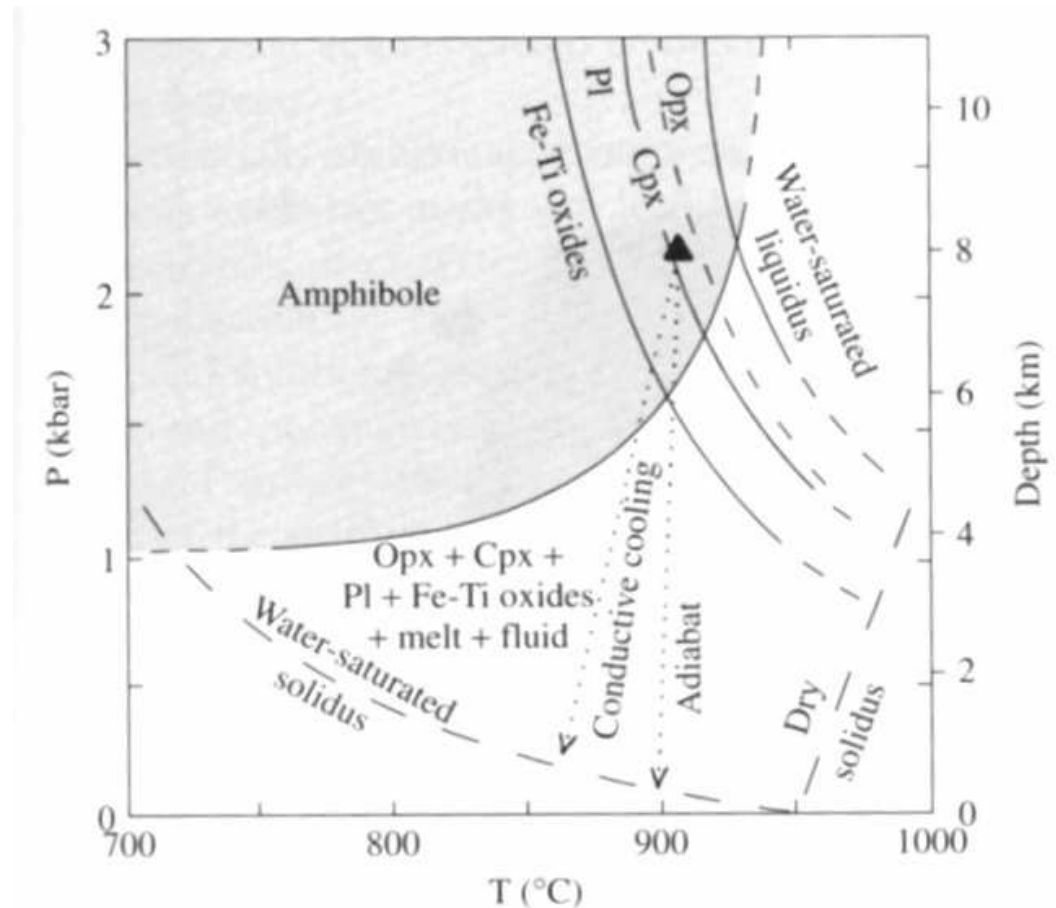
Určíme: T

Zastoupení Al v amfibolu

Určíme: P (musíme znát T, f_{O_2})

Biotit + magnetit + K-živec

Určíme: $f_{\text{H}_2\text{O}}$ (musíme znát P, T, f_{O_2})



Odhad podmínek v magmatickém krbu před erupcí St. Helens (květen 1980).

Tečkovaná linie vyznačuje možné cesty výstupu magmatu, vedoucí k erupci.

Posouzení stavu rovnováhy v horninách

Užití geotermometrů a geobarometrů, stejně jako další interpretace geneze hornin, závisí na dosažení stabilní rovnováhy v průběhu krystalizace pozorované minerální asociace.

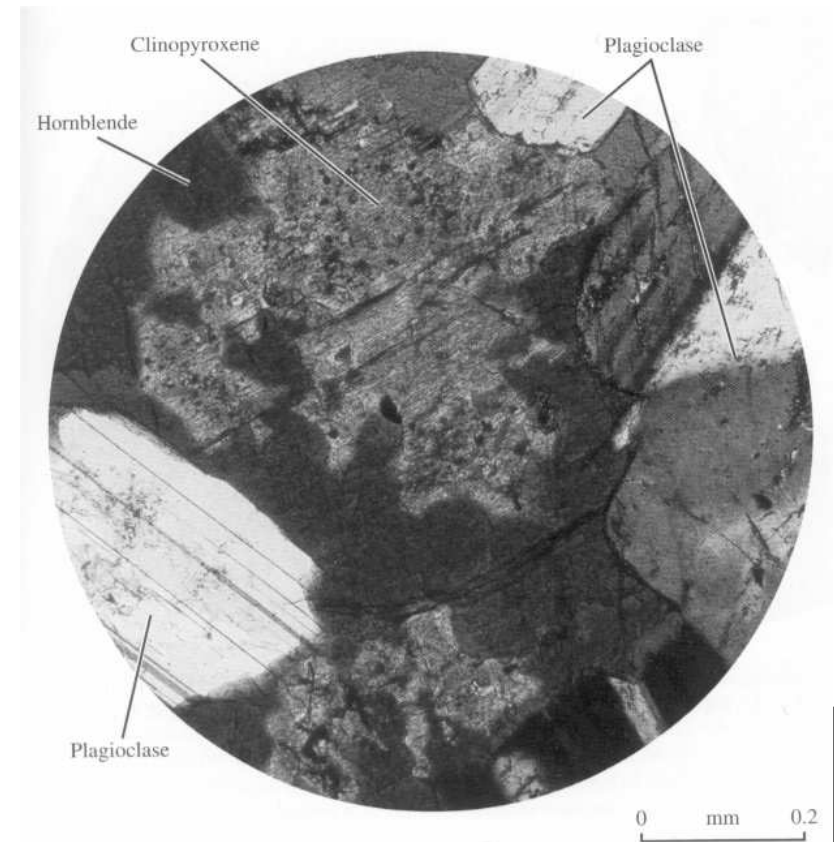
Rovnováha:

- Omezení krystalů přirozenými krystalovými plochami, obklopenými sklem (původně taveninou)
- Další posouzení dosažení rovnováh závisí na konkrétních minerálech

Nerovnováha (metastabilní stav):

- Izolovaná nepravidelná zrna minerálu v tavenině (parciální resorpce nebo rozpouštění)
- Reakční lemy jedné nebo více fází, které obklopují další nepravidelně omezený minerál (neúplná reakce)
- Zonální krystaly (nerovnovážná krystalizace). V některých případech představuje rovnováhu složení vnějšího lemu.
- Další indikátory: u vulkanických hornin přítomnost ol-Q, ol-pyroxen-sanidin, přítomnost dvou odlišných složení u minerálu jedné řady ss (mísení dvou odlišných magmat).

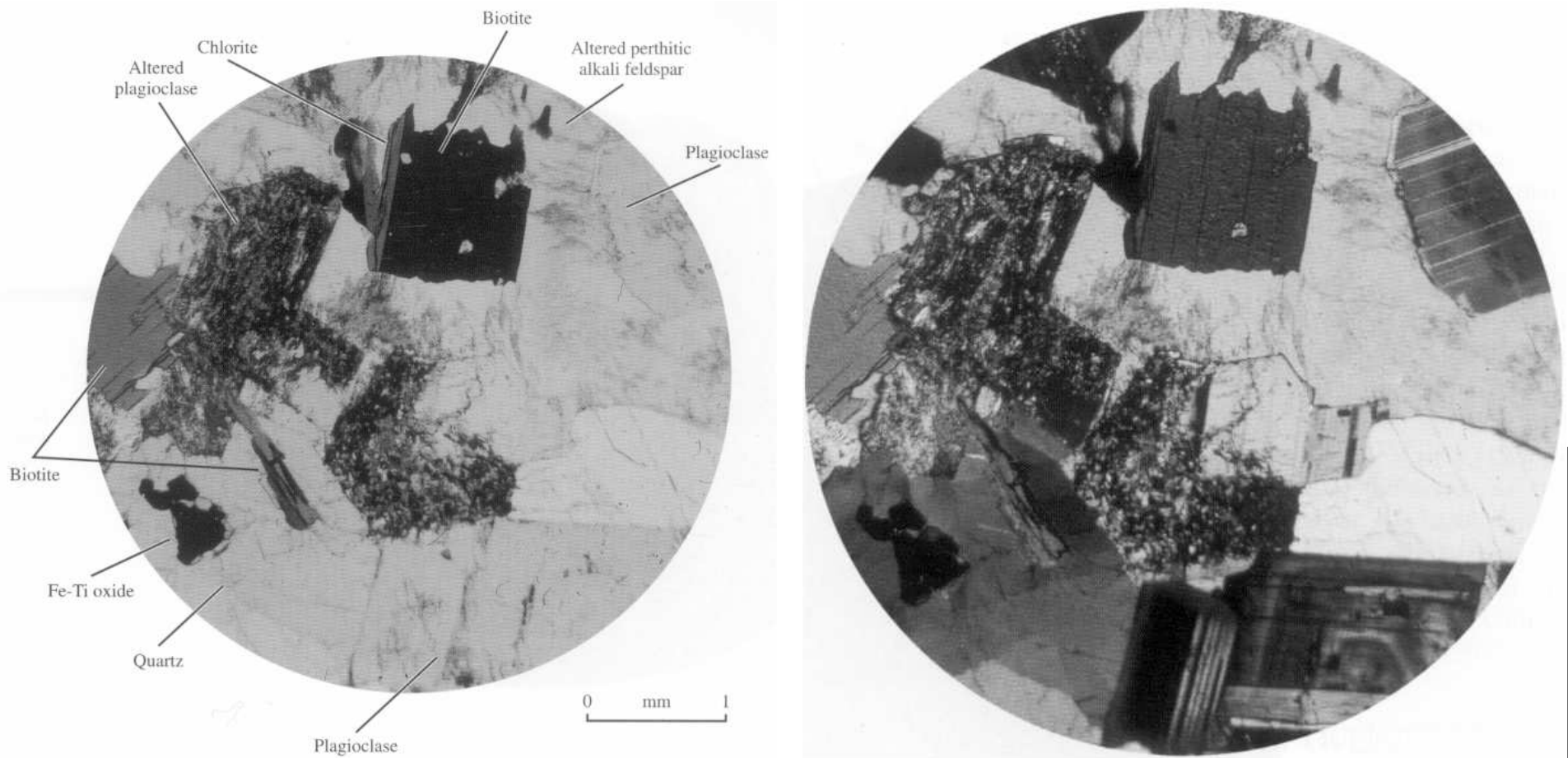
Josef Zeman



Klinopyroxen parciálně resorbovaný amfibolem v dioritu.

Posouzení stavu rovnováhy v horninách

Granit alterovaný v pevné fázi – vysokoteplotní plagioklas a biotit rozloženy.



Biotit částečně nahrazený chloritem a plagioklas nahrazen fylosilikátem a epidotem(?).

Zkřížené nikoly.

Reakce v pevné fázi u magmatických hornin

Snížení teploty po utužení

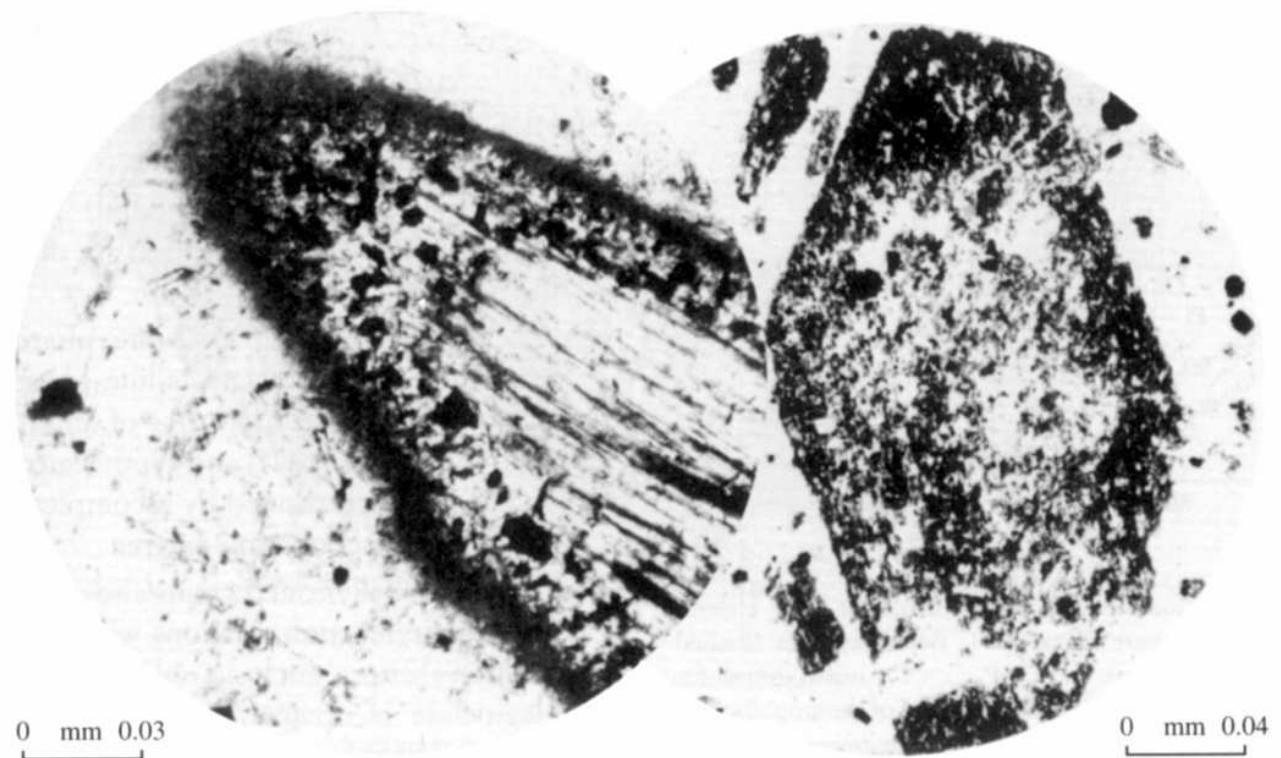
- reakce pomalé
- reakce neúplné
- produkty velmi jenozrnné
- často metastabilní stav

Vulkanické horniny:

- železo částečně oxidováno na Fe³⁺
- amfiboly a biotity ztrácejí vodu
- rozdíl mezi reakcemi s taveninou: produkty velmi jemnozrnné

Plutonické:

- při nižších teplotách je zachován zvýšený tlak: epidot, chlority, jílové minerály



Částečně (vlevo) a úplně (vpravo) rozložený amfibol (produkty: Fe-Ti oxidy, cpx, opx, živce)